

#### Министерство общего и профессионального образования Российской Федерации

#### ТОМСКИЙ ГОСУДАРСТВЕННЫЙ УНИВЕРСИТЕТ

# В.А.Архипов КУРС ЛЕКЦИЙ ПО ТЕОРИИ И ПРАКТИКЕ ЗАКРУЧЕННЫХ ПОТОКОВ Часть 1



УДК 532.516: 536.24.01

Архипов В.А. Курс лекций по теории и практике закрученных иотоков. Часть 1 (лекции 1-5).— Томск: Томский государственный университет, 1999.— 60 с.

В первой частн курса лекций рассмотрены способы закрутки, основные характеристики закрученных потоков, а также методы экспериментального исследования закрученных течений.

Для научных и инженерно-технических работников, аспираитов и студентов, специализирующихся в области исследования и практического использования закрученных потоков.

#### Рецензенты:

Члеи-корреспондент РАН, профессор А.М.Липанов; Доктор физико-математических иаук, профессор А.М.Бубенчиков

#### ПРЕДИСЛОВИЕ

Уникальные свойства закрученных потоков газа и жидкостн – ннтенсификация тепло- и массообменных процессов, стабилизация пламени, образование рециркуляционных течений и прецессирующего вихревого ядра, энергетическое разделение газа (эффект Ранка-Хилща), регулирование расходных характеристик (вихревой клапан), диспергирование жидкостей с контролируемыми параметрами капель и ряд других – стимулируют широкое их применение в различных областях современной техники и технологии.

В частности, применительно к ракетной технике, закрученные течення реализуются в центробежных форсунках жидкостных ракетных двигателей, вихревых камерах сгораиия, вращающихся ракетах, системах пленочного охлаждения сопловых блоков, системах управления модулем тяги. Разнообразные устройства с закруткой потока используются также в целом ряде отраслей народного хозяйства — вихрекамерные реакторы в химической технологии, циклонные топки в теплоэнергетике, центробежное литье в металлургии, вихревые и турбинные расходомеры в измерительной технике. Наряду с этим, закрученные течения играют важную роль в природных явлениях (смерчи, торнадо, водовороты, вращение дождевых капель и т.п.)

Все это определяет актуальность и целесообразность систематического изложення основ теории и практики закрученных потоков. В настоящее время опубликован ряд монографий, посвященных рассматриваемой проблеме, авторы которых рассматривают отдельные аспекты использования закрученных потоков применительно к конкретным процессам и устройствам (вихревые камеры, центробежные форсуики, вихревые трубы, циклопные топки и т.д.). Учебной литературы, посвященной комплексному рассмотрен по современного состояния теории и практики закрученных течений, иет как в России, так и за рубежом.

Настоящее учебное пособие написано по матерналам курса лекциії, читаемого на физико-техиическом факультете Томского госуниверснтета В нем предпринята попытка систематического изложения основных физических эффектов, современных подходов к математическому и физическому моделированию, технических н технологических приложений закрученных течений газа и жидкости, в частности, в ракетной технике.

При написании книги использовались как известиые литературные даиные, так и материалы собственных исследований авторов, опубликованные в научной периодике. Ряд резуль атов получен совместно с И.М Васениным, В.П.Волковым, А.А.Глазуновым, И.Г.Диком, В.Ф.Трофимовым, В.С Шишкиным, которым автор выражает искреннюю благодарность.

\* ( )

### Лекция первая

#### ВВОДНЫЕ ЗАМЕЧАНИЯ

#### 1.1. Предмет и задачи курса

Предметом изучения являются закрученные течения газа, жидкости и двухфазных сред (газ-жидкость, газ-твердые частицы) в каналах, вихревых (циклопных) камерах и в струях.

Закрученное течение – это такой тип течения, при котором происходит вращение жидкости (газа) вокруг некоторой оси, а в проекции на плоскость, перпендикулярную оси вращения, элементы жидкости описывают концентрические или спиралеобразные траектории.

Закрученные гечения широко распространены в природе (смерчи, торнадо, водовороты, воронки, вращение дождевых капель, планет и т.д.). Уникальные свойства таких течений (образование рециркуляционных зон и прецессирующего вихревого ядра, энергоразделение газа, интенсификация тепломассообменных процессов), позволили создать целый ряд приборов, анпаратов, устройств в различных областях современной техники и технологии. В качестве примера приведем лишь центробежные форсунки, газотурбинные и ракетные двигатели, циклонные топки, вихревые горелки, устройства пневмоавтоматики, расходомеры и т.д.

Задачами курса являются нзучение основных физических эффектов, подходов к математическому моделированию, технических и технологических приложений закрученных течений.

#### 1.2. Система координат

При математическом описании закрученных течеиий уравнения движения удобио использовать в *цилиндрической системе координат* (рис. 1.1), в которой положение произвольной точки M в пространстве определяется:

- ullet расстоянием r точки M от фиксированной прямой Oz (оси вращения);
- углом  $\varphi$ , образованным фиксированной плоскостью xOz с полуплоскостью, ограниченной Oz и проходящей через точку M;
- расстоянием z точки M от плоскости xOy, перпендикулярной Oz и проходящей через фиксированную точку O (начало координат) этой прямой.

Значения  $r \cdot \varphi$ , z изменяются в пределах

$$0 \le r < \infty$$
$$0 \le \varphi < 2\pi$$
$$-\infty < z < \infty$$

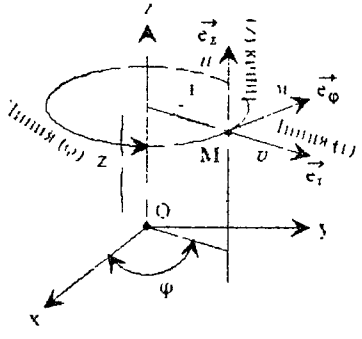


Рис 1.1 Цилиндрические координаты  $\vec{e_r}$ ,  $\vec{e_\phi}$ ,  $\vec{e_z}$  — едипичные векторы в цилиндрической системе координат  $(r - \varphi, z)$ , v, v, v — компоненты вектора скорости

Координатными новерхностями являются

r = const - цилиндры с осью Oz,

 $\varphi = \text{const} - \text{полуплоскости, ограниченные } Oz$ ,

z = const - плоскости, пернендикулярные Oz

Координатными линиями будут

Линии (r) лучи, перпендикулярные оси Oz и начинающиеся на этой оси,

Линии  $(\varphi)$  – окружности с центрами на Oz и радиусами r, плоскости которых перпендикулярны этой оси,

Линии (z) прямые, параллельные оси Oz

Цилиндрические координаты  $(r, \varphi, z)$  связаны с декартовыми (x, y, z) следующими соотношениями

$$x = r \cdot \cos \varphi, \quad y = r \cdot \sin \varphi \quad z = z.$$
 (11)

В дальнейшем при описании закрученных течений в основном будет использоваться цилиндрическая система координат Приведем основные дифференгиальные операторы скалярного и векторного полей в этой системе координат

Граднент скалярной функции U

$$\operatorname{grad} U = \nabla U = \frac{\partial U}{\partial r} \vec{e}_r + \frac{1}{r} \frac{\partial U}{\partial \varphi} \vec{e}_{\varphi} + \frac{\partial U}{\partial z} \vec{e}_z \tag{12}$$

Лапласиан скалярной функции U

$$\nabla^2 U = \Delta U = \frac{1}{r} \left[ \frac{\partial}{\partial r} \left( r \frac{\partial U}{\partial r} \right) + \frac{1}{r} \frac{\partial^2 U}{\partial \varphi^2} + r \frac{\partial^2 U}{\partial z^2} \right]$$
 (13)

Дивергенция векторной функции  $\vec{a}$ .

$$\operatorname{div} \vec{a} = \frac{1}{r} \left[ \frac{\partial (ra_r)}{\partial r} + \frac{\partial a_{\varphi}}{\partial \varphi} + \frac{\partial (r\hat{a}_z)}{\partial z} \right] \tag{14}$$

Вихрь (завихренность) векторной функции  $\vec{a}$ :

$$\operatorname{rot} \vec{a} = \left[ \frac{1}{r} \frac{\partial a_z}{\partial \varphi} - \frac{\partial a_{\varphi}}{\partial z} \right] \vec{e}_r + \left[ \frac{\partial a_r}{\partial z} - \frac{\partial a_z}{\partial r} \right] \vec{e}_{\varphi} + \frac{1}{r} \left[ \frac{\partial (ra_{\varphi})}{\partial r} - \frac{\partial a_r}{\partial \varphi} \right] \vec{e}_z$$
 (1.5)

Здесь  $\vec{e}_r$ ,  $\vec{e}_\phi$ ,  $\vec{e}_z$  — единичные векторы;  $a_r$ ,  $a_\phi$ ,  $a_z$  — проекции вектора  $\vec{a}$  на соответствующие оси координат

Для осесимметричных течений (параметры потока не зависят от координаты  $\varphi$ ) частные производные по  $\varphi$  равны нулю  $\left(\frac{\partial}{\partial \varphi} = 0\right)$  и приведенные выше формулы упрощаются

Вектор скорости  $\vec{t}^i$  в цилиндрической системе координат имеет следующих компоненты (рис 1 1)

г<sup>1</sup> – радиальная,

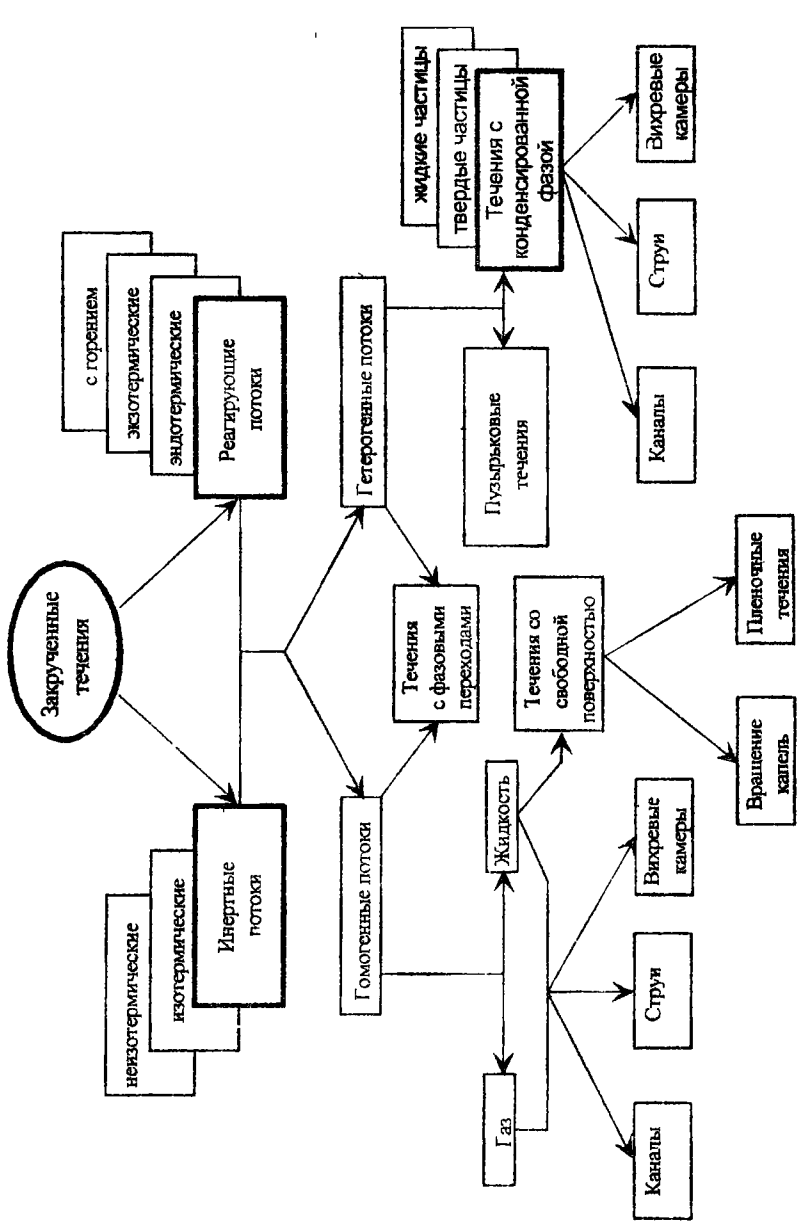
w — тангсициальная (окружная);

u — осевая (аксиальная)

#### 1.3. Классификация закрученных течений

Закрученные потоки являются одним из распространенных классов течений газа, жидкости или гетерогенных сред. Данный класс течений отличается чрезвычайным разнообразием – от вращения капель окиси алюминия, размеры которых не превышают десятка микрон, при течении двухфазных продуктов сгорания в соплах ракстных двигателей до атмосферных циклонов, диаметр которых составляет сотии километров Один из вариантов классификации закрученных течений представлеи иа схеме (рис 1.2).

Закрученные течения можно разделить на две большие группы инертные (без протекания химических реакций) и реагирующие (с протсканием химических реакций) потоки. Инертные потоки могут быть изотермическими и неизотермическими При изотермическом течении температура движущейся среды не зависит от координат и времени, т е  $T(r, \varphi, z, t) = \text{const}$ . При неизотермическом – температура может изменяться как во времени, так и в поле течения Изменение температуры движущейся среды может быть обусловлено рядом причии - теплообменом со стенками канала, диссипативиым тепловыделением **3a** счет вязкого трения, газодинамическими эффектами и т д



Рыс 12 Классификация закрученных течений

В реагирующих потоках протекают химические реакции с выделением (экзотермические) или поглощением (эидогермические) тепла. Особый вид реагирующих потоков, играющий важную роль в ряде энергетических и двигательных установок, составляют закрученные потоки, сопровождающиеся гореннем компонентов движущейся горючей смеси.

Как инертные, так и реагирующие потоки могут быть гомоленными или гетерогенными. В гомогенцых потоках движущаяся среда находится в одном фазовом состоянии (жидкость, газ или плазма). Гетерогенные потоки могут состоять из взвещенных в жидкости пузырьков газа (пузырьковые течения) или из взвещенных в газе конденсированных частиц (жидких или твердых). Промежуточное место между гомогенными и гетерогенными потоками, занимают течения с фазовыми переходами.

При этом возможно образование жидкой фазы за счет коидеисации, кристаллизация частиц при охлаждении, испарение жидких капель и т п

Гомогенные закрученные потоки газа или жидкости могут реализовываться в осесимметричных каналах (трубах, соплах и т д ), вихревых камерах (при этом существенную роль играют торцевые стенки) и в струях.

Особый класс закрученных течений жидкости составляют течения со свободной поверхностью, для которых характерно существенное влияние сил поверхностного натяжения. Это вращение жидких капель и закрученные пленочные течения.

Гетерогенные потоки с конденсированной фазой, аналогично газовым потокам, могут реализовываться в осесимметричных каналах, вихревых камерах и в струях.

#### 1 4. Области практического использования закрученных потоков

Закрученные потоки нашли широкое применение практически во всех отраслях современной техники и технологии — от медицинской техники и приборостроения до металлургии, энергетики и ракетно-космической техники. Рассмотрим некоторые наиболее перспективные области практического использования закрученных потоков.

#### Экология

Большой экологический вред наносят выбросы днсперсных частиц с отходящими жидкостями н газами в металлургин, теплоэнергетике, химической технологии. Одним из эффективных способов очистки жидкостей и газов от примесей является использование свойств центробежного поля, при этом удается достигнуть высокой степени очистки, недостижимой обычными методами.

Для очистки газов применяют циклонные аппараты — циклоны, в которых используется центробежная сила, возникающая при поступательновращательном движении двухфазного потока. Схема течения в типичной конструкции циклона показана на рис. 1.3. Твердые частицы вместе с частью газа попвдают в бункер, причем отделение газа от пыли происходит при повороте потока иа 180° Отделившийся от частиц поток движется к отводящему патрубку, смешиваясь с очищенным газом внутри циклона.

Мокрая очисткв газов, при которой пылеулавливаине может совмещаться с их абсорбцией и охлаждением, осуществляется в циклонах с пленочным орошением — центробежных скрубберах. По внутренней поверхности циклона иепрерывно стекает закрученная пленкв жидкости. Запыленный воздух вводится тангенциально и осаждается на пленку.

Циклоны с водяной пленкой используются для очистки газов от любых видов иецементирующейся пыли.

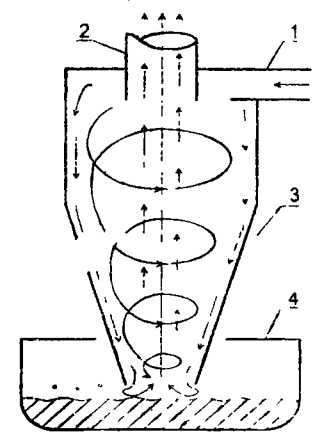


Рис. 1.3 Схема возвратио-поточного циклона:

1 – входной патрубок;

2 – отводящий патрубок;

3 - корпус;

4 – бункер

Для очистки жидкости от дисперсных включений используются гидроциклоны, по конструкции аналогичные циклонам (рис 1.3). Они применяются в угольной и рудной промышленности, пищевой технологин, нефтехимии. В нефтяной промышленности гидроциклоны применяются для очистки нефти от примесей, отмывки песка от нефти, пластовых вод от песка, отделения нефти от воды и т.д.

Отметим, что циклоны, скрубберы и гидроциклоны используются ие только в экологии, но и в различных технологических процессах Выделение твердых частиц из газа необходимо, иапример, при очистке технологических газов, в порошковой технологии. Выделение жидких частиц (масла и влаги) из воздушного потока необходимо для обеспечения надежной работы пиевмоииструмента и технологического оборудования.

#### Энергеника и технология сжигания топлив

Значительную часть производственных процессов в энергетике составляют процессы сжигания газообразных и распыленных жидких и твердых топлив (вихревые камеры сгорания, циклонные топки, газотурбинные энергоустановки, вихревые горелки различного назначения и т.д.) Повысить эффективность этих процессов позволяет технология сжигания топлива в турбулентном закрученном потоке. При этом существенно повышается КПД энергоустановок и снижается солержание токсичных веществ в продуктах сгорания. Это достигается за счет следующих особенностей закрученных полоков:

- интенсификация тепло- и массообменных процессов в турбулентном закрученном потоке;
- увелнчение времени пребывания компонентов горючей смеси в зоне химических реакций,
- наличие рециркуляционных зон с возвратным течением;
- возможность стабилизации фронта пламени с помощью закрутки потока;
- возможность регулирования характеристик факела горения варынрованием характеристик закругки потока

#### Химическая технология

Наибольшее, распространение закрученные потоки получили в химической технологии для дисперинрования жидкостей, сушки и разделения по фракциям дисперсных продуктов, проведения тепломассообменных процессоа и 1.д.

Для удаления влаги из дисперсных продуктов применяют циклонные камеры, пренмуществами Которых являются конструкции, регулируемое время пребывання материала в зоне сущки, высокая интенсивность тепло- и массообмена. В химической технологии сушильным процессам подвергаются όο,ιee ста Тысяч продуктов, представляющих собой, как правило, полидисперсную смесь Это создает трудности при разработке сушильных камер, поскольку практически трудно обеспечить высущивание частиц разных размеров до одинаковой остаточной влажности. В циклоиных камерах эта проблема решается за счет использования свойств закрученного потока. Движение материала и теплоносителя в таких камерах является поступательно-вращательным (спиральным). Крупиые частицы, требующие более длительного времени сушки, задерживаются в аппарате обеспечивает дольше, равномерность высущивания полидисперсного материала.

Вихревые пленочные аппараты (рис 1.4) применяются для дистипляции и концентрирования жидкостей, удаления растворителей и летучих продуктов из жидкостей, санитарной очнетки воздуха н т.д. Использование закрутки как газового потока, так и жидкостной пленки позволяет улучшить характеристики пленочных аппаратов. Благодаря спиральному движению в трубе пленка равномерно растекается по всей поверхности, становится более устойчивой к срыву, увеличиваются длина пути ее движения и время контакта фаз Кроме того, при закрученном пленочном течении коэффициенты тепло— и массоотдачи в 2 = 4 раза выше, чем в осевых потоках

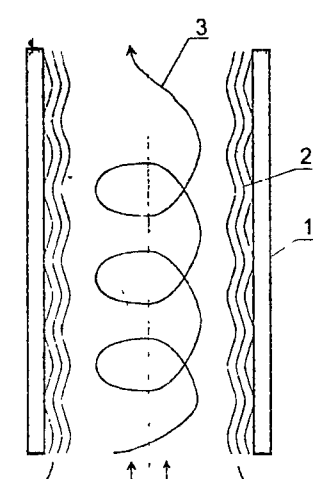
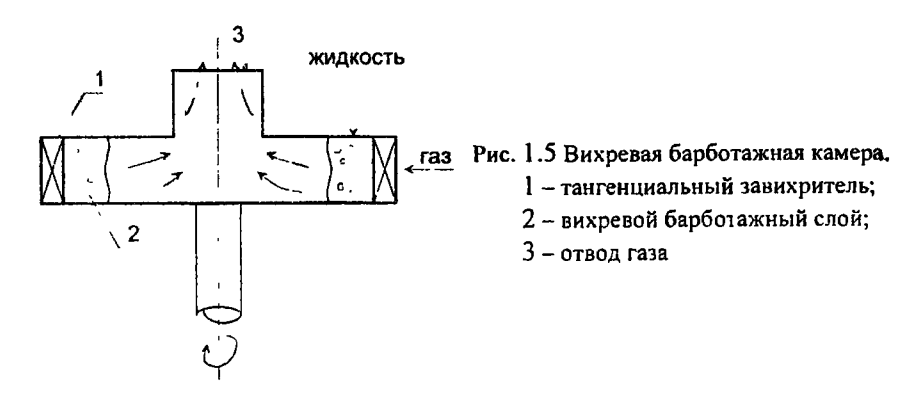


Рис 1.4 Схема вихревого пленочного аппарата:

- труба;
- 2 нисходящая закрученная пленка;
- 3 восходящий закрученный поток газа

Одним из широко распространенных способов организации процессов переноса тепла и массы является прямой контакт фаз в барботажных аппаратах вследствие фильтрации газа через жидкость Повышение эффективности алпаратов ограничено скоростью движения пузырьков барботажиых из-за уноса жидкости газом. Проведение барбогажа в  $(2 + 3 \, \text{M} \cdot c^{-1})$ закрученном газожидкостном потоке, который формируется в вихревой барботажной камере (рис 1.5), позволяет повысить его эффективность. Вихревой барботажный слой создается тангенциальной подачей газа в слой вращением корпуса камеры с угловой скоростью порядка жидкости, 1000 ÷ 3000 оборотов в минуту или сочетанием этих способов.

При вращении слоя возникает центробежное ускорение, в  $100 \div 1000$  раз превышающем ускорение свободного падения, вследствие чего формируется газожидкостной слой с мелкодисперсной структурой и сильно развитой поверхностью контакта фаз



#### Металлургия

Особой разновидностью литейной технологии является *центробежное титье*, отличающееся тем, что при заливке металла и его затвердевании изложница с металлом находится во вращении и испытывает действие центробежных сил (рис. i.6).

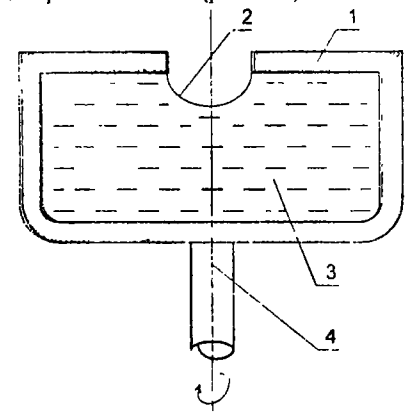


Рис. 1.6 Схема центробежного литья:

- 1 изложница;
- 2 свободная поверхность металла;
- 3 расплавленный металл;
- 4 приводной вал

Центробежное литье существует уже почти 200 лет (первый патент был получеи в Англии изобретателем А.Экхертом в 1809 г.), однако возможности его далеко не исчерпаны. Наибольший технико-экономический эффект достигается при непользовании ценгробежного литья для получения тел аращения – труб, втулок, гильз автотракторных двигателей, колец подшипников качения, многослойных изделий и т.д. При вращении изложницы формируется заданная конфигурация свободной поверхности расплавленного металла, а также всплывают в соответствии с законом Архимеда шлаковые включения, что повышает качество отливки.

Другим примером использования закрученных течений в металлургии являются *циклонные* нагревательные устройства (рис. 1.7), которые применяются для термообработки крупных особо ответственных изделий (роторов, валов и т.п.), для нагревания заготовок под ковку и штамповку, для нагревания слитков в прокатных цехах.

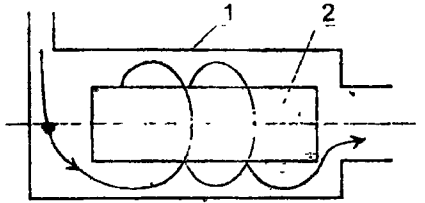


Рис. 1 7 Схема циклонного нагрева гельного устройства с загрузкой рабочего объема:

- 1 циклонпая камера;
- 2 заготовка

Процесс термообработки при этом пронсходит в циклонной камере с загрузкой ее рабочего объема за счет обтекания заготовки сильно закрученным высокотурбулентным потоком греющих газов. Циклонные камеры, обеспечивая значительную интенсификацию конвективного теплообмена н равномерность подвода тепла, позволяют не только повысить скорость, качество и экономичность нагрева, но и вследствие пониженной тепловой инерционности упрощают управление и открывают возможности полной автоматизации процесса нагрева н термообработки.

#### Измерительная техника

Успешно применяются закрученные потоки и в измернтельной технике. Известны, в частности, основанные на эффекте Ранка -Хилша авиационные вихревые термометры и гигромегры для измерения параметров забортного воздуха. Существенно расширяет возможности седиментационного метода анализа дисперсностн аэрозольных частиц использование их осаждения в поле центробежных мвссовь х сил. Широкое распространение получилн турбинные и вихревые измерителн расхода н количества жидкостей и газов,

Принцип действия *турбинных расходомеров* заключается в намереини пропорциональной объемному расходу вещества Q скорости вращения турбинки (аксиальной или тангенциальной), помещенной в поток. Данные расходомеры обладают высокими метрологическими качествами, к которым следует отнести значительный диапазон намерений  $(Q_{max}/Q_{min}=10\div15)$ , малую погрешность (до  $0.5\div1.\%$ ), незначительную инерционность

Схема вихревого расходомера показана на рис. 1.8.

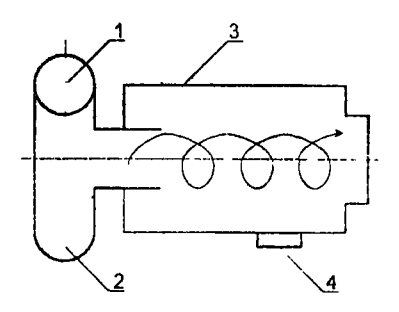


Рис. 1 8 Схема вихревого расходомера:

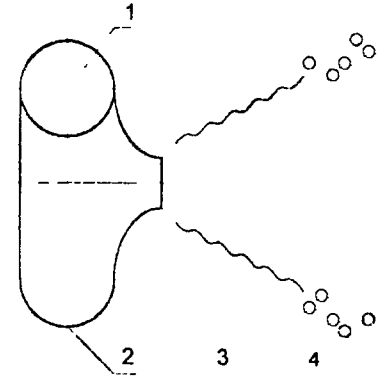
- 1 входной пагрубок;
- 2 камера закручивания;
- 3 рабочая камера;
- 4 датчик давления

Жидкость или газ через входной патрубок 1 поступает в камеру закручивания 2, а затем через переходной патрубок в рабочую камеру 3, где возникает пульсация потока (за счет образования прецессирующего вихревого ядра), сопровождающаяся колебаниями давления и скорости. Частота колебаний f, регистрируемая датчиком давления 4, линейно зависит от объемного расхода Q измеряемого вещества

Достоинствами викревых расхоломеров являются отсутствие подвижных этементов внутри трубопровода, малая погрешность  $(0.5 \div 2\%)$  и эннейность рабочей характеристики f(Q) в нироком диапазоне измерений

#### Ракетная техника

Одним из важнейших 5 тементов системы подачи компонентов гоилива в камеру сгорания жидкостных ракетиых двигателей (ЖРД) является центиробежная форсулка (рис 1.9). В головках современных ЖРД установлено несколько десятков форсунок для совместной или раздельной подачи горючего и окислителя.



#### 1 Puc. 1.9

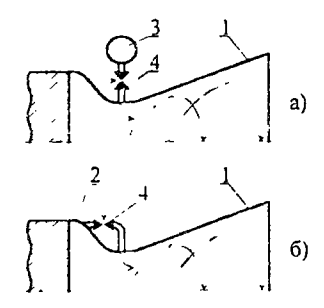
#### Схема пентробежной форсунки:

- 1 входиой патрубок
- 2 камера такручивания;
- 3 con 10,
- 4 струя жидкостії

Жидкость вводится через патрубок 1 в камеру 2 форсунки тангенциально; при выходе закрученной струи из сопла 3 действие центростремительных сил от твердых стенок прекращается и струя 4 вследствие нестационарных колебаний распадается на капли.

В регупируемых ЖРД малой тяги применяются вихревые камеры сгорания (ВКС), в которых процесс сгорания компонентов топливной смеси протекает в турбулентном закрученном потоке Наиболее перспективны прогивоточные ВКС, в которых подача одного из компонентов осуществляется со стороны сопловой крышки двигателя. Увеличение времени пребывания топлива, повышение качества смесеобразования за счет образования рециркуляционных зон, интенсификация процесса горения в вихревом потоке позволяют обеспечить высокую полноту сгорания в режиме глубокого регулирования расхода и, соответственно, тяги двигателя

Особый интерес для регулирования тяги ракстных двигателей представляет использование сопловых блоков с вихревы и клапаном. При этом управляющий поток газа от вспомогательного газогенератора (рис. 1.10а) или отбираемого из камеры сгорания двигателя (рис. 1.10б) тангенциально подается в сопло, эффективная величина площади критического сечения которого уменьшается с ростом нитенсивности закрутки Основным достоинством даиного способа регулирования является отсутствие подвижных частей в высокотемпературном проточном тракте ракетного двигателя.



Piic. 1 10

Схемы подвода газа для регулирования площади критического сечения сопла.

- сопло:
- 2 камера сторания,
- 3 -- вспомогательный газогенератор (баллон со сжатым газом;
- 4 клапан

Приведенные выше примеры далеко не

исчерпывают возможные области практического применения закрученных погоков. Энергетическое разделение газа в закрученном потоке (эффект Ранка—Хилша) позволяет создавать недорогие вихревые хотодильники для транспортных средств (кабины самолетов, экскаваторов и т.п.), для локального охлаждения тканей при хирургических операциях и в ряде других областей В вакуумной технике нашли применение вихревые эжекторов основан на образовании приосевой зоны пониженного давления в вихревой камере. Струйные вихревые клапаны являются одними из ключевых элементов регулирования расхода в системах пневмоавтоматики



## Лекция вторая

#### СПОСОБЫ ЗАКРУТКИ И ОСПОВНЫЕ ХАРАКТЕРИСТИКИ ЗАКРУЧЕННЫХ ПОТОКОВ

#### 2 1. Способы закрутки потока

Известны следующие способы создания закрученных потоков

- тангенциальный ввод газа или жидкости в канал,
- использование неподвижных направляющих элементов (лопаток, шнеков, скрученных лент, внутренией нарезки канала и т п ),
- использование вращающихся механических устройств,
- непосредственное вращение канала

На практике используются также различиые сочетания иескольких из перечисленных способов

Устройства для создания закрученного потока называют завихрителями Завихрители нозволяют сообщать потоку вращательную (тангенциальную) составляющую скорости, различные комбинации осевого и вращательного движения, а также формировать частичиую закрутку потока Завихрители могут располагаться как на входе в канал (местиая закрутка), так и по всей его длине (распределенная закрутка)

В зависимости от функционального назиачения завихрители можно разделить на три группы.

- 1 Завихрители для сообщения потоку вращательного движения, преобразующегося в пределах выходиого патрубка завихрителя в поступательно-вращательное
- Завихрители для одновременного сообщения потоку вращательного и осевого лвижения
- 3 Завихрители для сообщения потоку частичной закрутки, которая, в отличие от полной закрутки, характеризуется комбинацией кольцевых зон потока с осевым и вращательным движением

Рассмотрим основные типы применяемых на практике завихрителей К первой группе относятся завихрители тангенциального, улиточного и тангенциально-лопаточного типов

Наиболее распространенный тип-завихрителя – тангенциальный - состоиг из камеры закручивания и подводящих патрубков (рис 2 1)

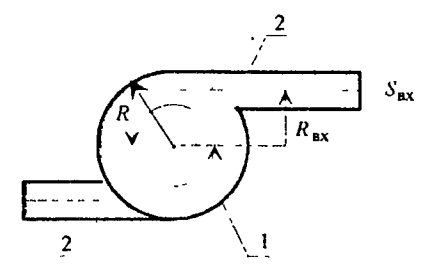


Рис 2.1

Тангенциальный завихритель

1 - камера за кручивания,

2 - подводящие патрубки

Завихритель характеризуется следующими геометрическими параметрами

R — радиус камеры закручивания,

 $R_{\rm ex}$  — радиус закрутки (расстояние между осями камеры закручивания и полволящего патрубка).

 $S_{\rm ex}$  – площадь поперечного сечения подводящего патрубка,

і – количество подводящих патрубков

Форма подводящих патрубков может быть круглой, прямоугольной, овальной и т д, их количество  $i=1\div 4$  и более. С увеличением i степень азимутальной неравномерности скорости после завихрителя уменьшается

Схема улиточного завихрителя представлена на рис 22

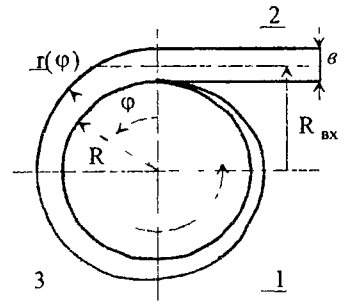


Рис 2.2 Улиточный завихритель

1 - цилиндрический канал,

2 - подводящий патрубок,

3 - улиточный подвод

Он состоит из цилиндрического канала 1, подводящего патрубка 2 прямоугольного сечения и улиточного подвода 3 Завихритель характеризуется следующими параметрами

R — радиус цилиндрического канала,

 $R_{\rm ex}$  — радиус закрутки,

а, b - ширина и высота подводящего патрубка,

i – количество подводящих патрубков (i=1 – односторонний ввод, i=2 – двухсторонний ввод или пол—оборотная улитка)

Наружный обвод подводящего патрубка выполняется по спирали Архимеда:

$$r = R + b - \frac{i \cdot b}{2\pi} \varphi \tag{21}$$

Радиус закрутки  $R_{\rm sr}$  для улиточного завихрителя определяется соотношением

$$R_{\rm ex} = R + \frac{b}{2} \tag{2.2}$$

Как следует из (2.2), радиус закрутки больше радиуса камеры, поэтому улиточный завихритель обеспечивает большую величину окружной скорости на входе в камеру, чем тангенциальный при одинаковом расходе газа

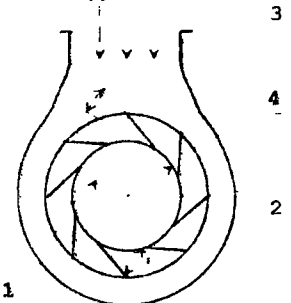


Рис 2.3

Тангенциально-лопаточный завихритель.

1 - цилипдрический канал,

2 - коллектор (кожух),

3 - подводящий патрубок,

4 - лопатки

В тангенциально-лопаточном завихрителе газ подводится через систему зангенциальных шелей, образованных лопатками 4, расположенными паралле выю оси капала 1 (рис 2 3) Тангенциально-лопаточный завихритель характеризуется следующими геометрическими параметрами

R – радиус шилиндрического канала;

i -количество лопаток,

l - длина лопатки вдоль оси канала,

 $\beta$  – угол между лопаткой и касательной к окружности радиуса R.

 $\varepsilon$  - расстояние между лопатками

Ко второй групне завихрителей относятся аксиально-лопаточные, аксиально-тангенциальные, шнековые и ленточные завихрители

Аксиально-лопаточный завихритель представляет собой осевой направляющий аппарат с лопатками, расположенными по разнусу канала Лопатки крепятся к внешнему кольцу и ценгральному телу и располагаются под некоторым углом к оси канала Данный тип завихрителя характеризуется следующими параметрами

R - радиус цилиндрического канала,

 $R_{o}$  – радиус центрального тела,

i -количество лопаток,

 $oldsymbol{eta}$  – угол закрутки лонаток

Закручивающие поток лонатки могут быть илоскими или профилированивымы с целью обеспечения безогрывного течения

акснально-лопаточного и тангенциально-лопаточного завихрителей характеризуется следующими геометричскими параметрами

R — радиус цилиндрического канала,

 $R_{\rm o}$  — радиус центрального тела,

і – количество лопаток.

 $\alpha$ ,  $\beta$  – углы установки лопаток

Шнековые и ленточные завихрители могут иметь постоянный или переменный угол закрутки по длине канала Данные типы завихрителей используются, как правило, для формирования распределенной закрутки

В отдельных случаях, в частности, в химической технологии для закрутки вязких жидкостей применяются вращающиеся механические устройства – вертушки с лопастями и т п. В таких завихрителях поток закручивается по закону твердого тела Основными параметрами завихрителя являются угловая скорость вращения приводного вала и внешний радиус лопастей  $R_a$  (рис 2.4)

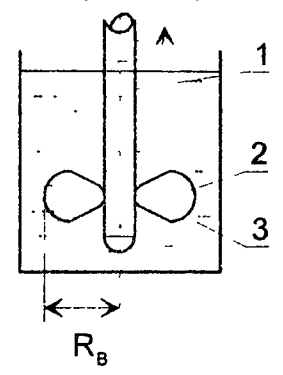


Рис 24

Завихритель с вращающимися лопастями

1 - приводной вал,

2 – лопасти,

3 - сосуд с жидкостью

Интересным примером технической реализации данного способа закрутки является использование металлических шариков, которые движутся в жидкости под действием наложенного вращающегося магнитного поля. Такие устройства применяются в лабораторной технике для интенсификации процессов перемешнвания или растворения реактивов

Иногда для создания закрутки потока применяется непосредственное вращение канала или вихревой камеры. Такой способ используется, например, в металлургии при центробежном литье заготовок (рис. 1.6.). Другим примером является закрутка потока в камере сгорания вращающихся ракет или активнореактивных снарядов

Завихригели третьей группы могут создавать частичную закрутку потока либо в центральной области канала, либо в его пристенной зоне (рис. 2.5.)

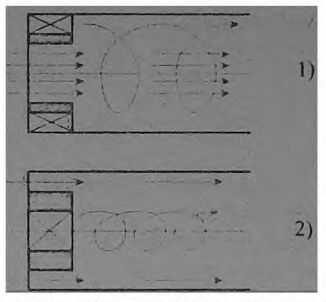


Рис. 2.5 Схемы частичной закрутки потока:

1 - в пристенной области;

2 - в центральной области

При этом для закрутки потока используются тангенциальные, аксиальнолопаточные, шнековые завихрители, а также внутреннее оребрение или спиральная накатка канала. Последние два способа создают закрутку по всей длине канала.

#### 2.2. Закон закрутки

Основные характеристики закрученного потока можно разделить на две группы, первая из которых определяет характер распределения вращательного движения по радиусу потока в плоскости, перпендикулярной его оси (закон закрутки), а вторая – интенсивность вращательного движения (интенсивность закрутки).

Рассмотрим простейший случай закрученного течения в рамках следующих допущений:

- течение осесимметричное (параметры потока не зависят от угловой координаты  $\phi$ );
- течение радиально-уравновешенное (радиальная компонента вектора скорости v = 0);
- течение плоское (оссвой поток отсутствует), т.е. осевая компонента вектора скорости u=0.

При этом единственная ненулевой компонентой будет окружная (тангенциальная) скорость w, которая зависит только от радиальной координаты r

Для описания закона закрутки используются следующие функции:

1. Радиальное распределение тангенциальной скорости

$$w(r) = f_1(r) \tag{2.3}$$

2. Завихренность (ротор вектора скорости  $\vec{v}$ ). В рассматриваемом случае отлична от нуля только z – компонента вектора  $\vec{\omega}$ 

$$\vec{\omega}(r) = rot\vec{r} = \left[0, 0, \frac{1}{r} \frac{\partial}{\partial r}(rw)\right] = f_2(r)$$
 (2.4)

3 Циркуляция вдоль концентрических траекторий вращательного движения:

$$\Gamma(r) = 2\pi r w(r) = f_3(r) \tag{2.5}$$

4. Угловая скорость относительно оси симметрии потока:

$$\Omega(r) = \frac{1}{r}w(r) = f_4(r) \tag{2.6}$$

Отметим, что эти характеристики можно распространить и на более сложные типы закрученных потоков.

Рассмотрим наиболее типичные законы закрутки

1. Квазитвердое вращение (КТВ) характеризуется вращением потока по закону твердого тела, т е. величина окружной скорости w пропорциональна радиальной координате r (рис 2 ба)

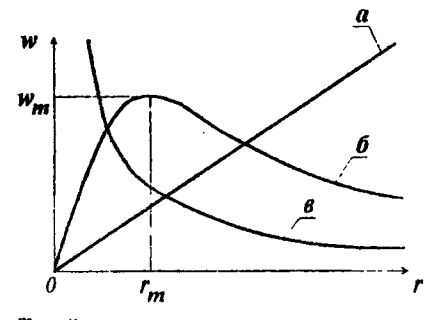


Рис 2.6
Основные законы закрутки
а — вынужденный вихрь;
б — свободный вихрь;
в — вихрь Рэнкина

Такой тип течения называется вынужденный вихрь; характеристики закрутки для него нмеют следующий вид:

$$w(r) = C_1 r = \Omega r \tag{2.7}$$

$$\omega = 2C_1 = 2\Omega = \text{const}$$
 (2.8)

$$\Gamma(r) = 2\pi C_1 r^2 = 2\pi \Omega r^2 \tag{2.9}$$

$$\Omega = C_1 = \text{const} \tag{2.10}$$

2 Квазипотенциальное или безвихревое вращение (КПВ) характеризуется тем, что завихренность равна нулю Из (2.4) следует, что

$$\frac{1}{r}\frac{\partial}{\partial r}[r\cdot w(r)]=0$$
, те  $r\cdot w(r)=C_2=\mathrm{const}$  Окружная скорость для КПВ

w(r) обратно пропорциональна радиальной координате r (рис. 2 66) Такой тип течення называется свободный вихрь; характеристики закрутки для него имеют вид:

$$w(r) = \frac{C_2}{r} = \Omega \cdot r \tag{2.11}$$

$$\omega = 0 \tag{2.12}$$

$$\Gamma = 2\pi C_2 = \text{const} \tag{2.13}$$

$$\Omega(r) = \frac{C_2}{r^2} \tag{2.14}$$

3 Составной вихрь Рэнкина характеризуется наличием центрального приосевого ядра с течением, близким к КТВ, и периферийного свободного вихря с течением, близким к КПВ При этом максимум окружной скорости и достигается на некотором радиусе  $r_m$ , разделяющем области с КТВ и КПВ (рис 2.6в) Данный тип течения нанболее точно описывает закон закрутки в реальных потоках Основные характеристики закрутки для вихря Рэнкина имеют следующий вид

$$w(r) = \frac{C_3}{r} \left[ 1 - \exp\left(-\frac{r^2}{r_m^2}\right) \right] \tag{2.15}$$

$$\omega(r) = \frac{2C_3}{r_m^2} \exp\left(-\frac{r^2}{r_m^2}\right) \tag{2.16}$$

$$I'(r) = 2\pi C_3 \left[ 1 - \exp\left(-\frac{r^2}{r_m^2}\right) \right]$$
 (2.17)

$$\Omega(r) = \frac{C_1}{r^2} \left[ 1 - \exp\left(-\frac{r^2}{r_m^2}\right) \right]$$
 (218)

the 
$$C_3 = \frac{e}{e-1} w_m \cdot r_m = 1582 w_m \cdot r_m = \text{const}$$

Для описания закона закрутки в различных технических устройствах используются многочисленные приближенные зависимости, включающие один и более параметров Численные значения параметров определяются путем аппрокенмации опытных данных с помощью этих зависимостей

Левелленом предложен экспоненциальный закон изменения u(t)

$$w(r) = w_{cm} \frac{R \left[ \frac{1 - \exp(-m\psi)}{r} \right]}{\left[ 1 - \exp(-m) \right]}$$
 (2.19)

где  $\psi_i$  – безразмерная функция гока, которая на степке равна единине,

m – параметр, определяющий положение радиальной коор шиаты перехода от KTB к KIIB,

 $w_{cm} = w(R)$  – значение тангенція вной скорости на степке канала

такой закон характеризует плавное изменение w(r) по кривой с максимумом При  $m \to 0$  из него следует закон квазитвердого вращения, при  $m \to \infty$  — закон квазипотенциального вращения

В ряде работ предложены следующие простые анпроксимационные формулы

$$u(r)r^m = \text{const}, (2.20)$$

где  $-1 \le m \le 1$ 

$$w(r) = w_{cm} \left(\frac{r}{R}\right)^m \tag{221}$$

где  $0 \le m \le 1$ 

Для внхревых и циклонных камер используются следующие параметры

$$w(r) = w_m \frac{2\eta}{1 + n^2}, \tag{2.22}$$

где  $\eta = \frac{r}{r_m}$  — безразмерная радиальная координата

Зависимость, предложенная С.В.Карповым, учитывает изменение закона закрутки по длине вихревой камеры

$$w(r) = w_m \left(\frac{2\eta}{1 + \eta^m}\right)^{n(z)}$$
 (2.23)

Параметр n находится для каждого сечення z вихревой камеры, величина параметра m=1.87 наиболее корректно отражает закон закрутки для широкого класса вихревых камер

#### 2.3. Интенсивность закрутки

Вследствие большого разнообразия законов закрутки, которые могут быть реализованы в реальных потоках, весьма актуальным является выбор универсального критерия интенсивности закрутки, который мог бы служить параметром подобия при сравнении различных закрученных течений. В большинстве работ, посвященных закрученным гечениям в каналах, интенсивность закрутки характеризуется следующими параметрами

Параметр Магера, представляющий собой безразмерную тангенциальную скорость на стенке канала

$$\alpha = \frac{w(R)}{v_{\text{max}}} = \frac{w(R)}{a_o} \sqrt{\frac{k-1}{2}}$$
 (224)

где  $a_o$  - скорость звука, рассчитанная по параметрам торможения,

k - показатель адиабаты газа,

$$v_{\text{max}} = a_o \sqrt{\frac{2}{k-1}}$$
 – максимальная скорость истечения

При течении в соплах Лаваня этот параметр рассчитывается по тангенциальной скорости в критическом сечении сопла:

$$\alpha_{kp} = \frac{w(r_{kp})}{r_{\text{max}}} = \frac{w(r_{kp})}{a_o} \sqrt{\frac{k-1}{2}}$$
 (2.25)

Число Россби, равное отношению постоянной по сечению осевой компоненты вектора скорости к удвоенной ее тангенциальной составляющей на стенке канала

$$Ro = \frac{\overline{u}}{2w(R)} \tag{2.26}$$

<sup>1</sup>Нисло Френкеля - отношение тангенциальной компоненты вектора скорости на стенке канала к осевой скорости на входе в канал

$$F = \left[\frac{u(R)}{u(R)}\right]_{av} \tag{227}$$

Угол закрутки

$$\alpha(z) = \operatorname{arctg}\left[\frac{w(R, z)}{u(R, z)}\right]$$
 (2.28)

Очевилно, что все эти параметры не могут служить критериями подобия, т к характеризуют закрутку только по величине иг на стенке канала и не учитывают закон ее изменения по радиусу. Они приголны голько для сравнения течений с одинаковым законом закрутки, но с разной ее интенсивностью Параметры  $(2\,24)$  (2.28) являются локальными критериями интенсивности закрутки. Для течений с произвольным законом закрутки и (r) необходимо использовать интегральные критерии интенсивности закрутки. Досновная цель их введения состоит в нахождении такого нараметра, который полволял бы определять сравнизельное воздействие закрутки на характеристики гечения, в частности на коэффициент расхода сопла. Рассмотрим некоторые их них

Параметр  $\Gamma \Gamma$  Черного, полученный для радиально-уравновещенного потока в согле Лаваля (V=0) с помощью линеаризации уравнений движения

$$\varepsilon = \int_{0}^{1} \int_{V} \left[ \frac{\bar{f}^{2}(\psi') d\psi'}{\psi'^{2}} \right] d\psi. \tag{229}$$

где 
$$\overline{\Gamma} = \frac{wr}{w_m \cdot r_{\kappa \nu}}$$
 – безразмерная ниркуляння

В работах Н.Н.Славянова численными расчетами показано, что параметр в достаточно хорошо моделирует произвольно закрученное течение Однако этот параметр слишком сложен для инженерной практики. Для описання безвихревой закрутки в силу особенностей, появляющихся в интеграле (2.29), применять его нельзя.

В ряде работ используется средняя мощность циркуляции.

$$\left\langle \left| \Gamma \right|^2 \right\rangle = \frac{1}{w} \int_0^1 \left| \Gamma(w') \right|^2 dw' \tag{2.30}$$

Наибольшее распрострвнение получил безразмерный *параметр* интенсивности закрутки Хигира-Бэра:

$$\boldsymbol{\Phi} = \frac{K_{\varphi}}{K_{r}R} \tag{2.31}$$

где  $K_{\varphi} = 2\pi \int_{0}^{R} \rho u w r^{2} dr$  — осевой поток момента импульса,  $K_{z} = 2\pi \int_{0}^{R} \rho u^{2} r dr$  — осевой поток импульса;

 $\rho$  - плотность газа.

Величина  $\Phi$  должна рассчитываться по известным радиальным распределениям  $\rho(r)$ , u(r), w(r), которые заранее, как правило, неизвестны. В инжинерной практике параметр  $\Phi$  рассчитывается по приближенным формулам через геометрические характеристики различных типов завихрителей. Приведем некоторые формулы для расчета параметра Хигира—Бэра на входе в канал  $\Phi_{\rm ex}$  при различных способах начальной закрутки

Тангенциальный завихритель (рис 21):

$$\Phi_{\rm ex} = \frac{\pi R R_{\rm ex}}{S_{\rm ex}} = \frac{\pi R (R - r_{\rm ex})}{i r_{\rm ex}^2} \tag{2.32}$$

где  $r_{ex}$  — радиус подводящего патрубка.

Улиточный завихритель (рис. 2 2):

$$\Phi_{\rm ex} = \frac{\pi RR_{\rm ex}}{S_{\rm ex}} = \frac{R(R - e, 2)}{iae}$$
 (2.33)

Тангенциально-лопаточный завихрнтель (рис. 2.3):

$$\Phi_{\rm ex} = \frac{\pi \, R R_{\rm ex}}{S_{\rm ex}} = \frac{\pi \, R^2}{i l \varepsilon} \cos \beta \tag{2.34}$$

Изотермическая вихревая камера:

$$\Phi = \frac{\left(K_{\wp}\right)_{\kappa_{N}}}{\left(K_{z}\right)_{\kappa_{N}} r_{\kappa_{P}}} = \frac{\pi R r_{\kappa_{P}}}{S_{\kappa_{N}}} \tag{2.35}$$

где  $(K_{\phi})_{ax}$ ,  $(K_z)_{abx}$  – значения соответствующих потоков на входе и выходе камеры, соответственно.

В зависимости от величины критерия интенсивности закрутки закрученные потоки можно классифицировать следующим образом.

Слабо закрученный поток ( $\Phi$  < 0.4) характеризуется тем, что в любом его сечении осевая (аксиальная) составляющая скорости имеет на оси максимальное значение. Профиль u(r) по виду не отличается от профиля

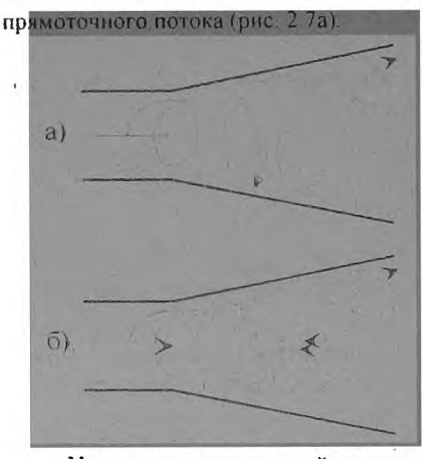


Рис. 2.7

Классификация закрученных нотоков по параметру Хигира-Бэра. а) слабо закрученный поток

 $(\Phi < 0.4)$ ;

б) сильно закрученный поток  $(\Phi > 0.6)$ 

Умеренно закрученный поток характеризуется "провалом" осевой составляющей скорости по направлению к оси потока. Обратного течения по оси нет, профиль u(r) имеет M — образную форму.

Сильно закрученный поток ( $\phi > 0.6$ ) характеризуется наличием приосевой тороидальной зоны обратных токов (рис 2.76).

В первом приближении для оценки степени закрутки потока можно использовать критическое значение параметра Хигира Бэра  $\Phi \equiv 0.5$ , разделяющее потоки с сильной  $(\Phi > 0.6)$  и слабой  $(\Phi < 0.4)$  закруткой.

Отметим, что единого мнения об оптимальном критерии интенсивности закругки нет. Отсутствуют какие-либо данные о критериях подобия для двухфазных закрученных течений. Поэтому одной из дальнейших залач теоретических и экспериментальных исследований является нахождение достаточно простого и в то же время универсального критерия нодобия.

## Лекция третья

#### МЕТОДЫ ДИАГНОСТИКИ ЗАКРУЧЕННЫХ ПОТОКОВ

При исследовании закрученных течений жидкости, газа или многофазных сред возможны два подхода теоретический и экспериментальный При георетическом подходе анализируется математическая модель реального процесса (т е система уравнений, описывающая данный процесс с той или иной степенью точности) Адекватность математической модели характеризует степень ее достоверности при описании реального процесса

При экспериментальном подходе изучается либо реальный процесс (натурный эксперимент), либо его *физическая модель* (физическое моделирование)

#### 3.1. Измеряемые параметры

В гомогенных потоках газа или жидкости измеряемыми параметрами являются пространственно-временные распределения компонент вектора скорости  $\tau(r, \varphi, z, t)$ ,  $w(r, \varphi, z, t)$ ,  $u(r, \varphi, z, t)$ , давления  $p(r, \varphi, z, t)$  и плотности (для газовых потоков)  $\rho(r, \varphi, z, t)$ 

В гегерогенных потоках дополнительно измеряются распределения концентрации и размеров частиц конденсированной фазы Концентрация частиц является одной из важнейших характеристик двухфазного потока Различают счетную  $c_n$ , объемную  $c_{\tau}$  и массовую  $c_m$  концентрации, которые равны, соответственно количеству, объему и массе частиц в единице объема двухфазной среды Связь между ними дается соотношениями

$$c_{n} = c_{v} \left[ \frac{\pi}{6} \int_{0}^{\infty} D^{3} f(D) dD \right]^{\frac{1}{2}} = c_{m} \left[ \frac{\pi \rho_{\kappa}}{6} \int_{0}^{\infty} D^{3} f(D) dD \right]^{-1}$$

$$c_{v} = c_{n} \frac{\pi}{6} \int_{0}^{\infty} D^{3} f(D) dD = \frac{c_{m}}{\rho_{\kappa}}$$

$$c_{m} = c_{n} \frac{\pi \rho_{\kappa}}{6} \int_{0}^{\infty} D^{3} f(D) dD = c_{v} \rho_{\kappa}$$
(3.1)

где  $\rho_{\kappa}$  - плотность материала частиц,

f(D) – функция распределения частиц по размерам

В монодисперсных потоках размеры асех частиц одинаковы (D = const) двухфазных потоках. как правило. Копленсированные частицы размеры Дисперсный COCTAR различные полидисперсиы, имеют дифференциальной функцией характеризуется совокупности частиц распределения частиц по размерам (рис. 31), которая определена таким образом, что

$$\int_{D_1}^{D_2} f(D) dD = P[D_1 < D < D_2]$$
(3 2)

где  $P[D_1 < D < D_2]$  — вероятность того, что диаметр частиц D лежит в интервале  $[D_1,D_2]$  При эгом  $f(D)\mathrm{d}D$  — доля числа частиц, диаметр которых лежит в пределах  $[D,D+\mathrm{d}D]$ 

Очевидным условием нормировки является соотношение.

$$\int_{0}^{\infty} f(D)dD = 1 \tag{3.3}$$

Функция распределения f(D) имеет две наглядные геометрические характеристики – модальный (наиболее вероятный) диаметр  $D_m$ , при котором f(D) имеет абсолютный максимум  $f(D_m)$  и относительную полуширину B (расстояние между ветвями функции распределения на уровне  $f(D) = \frac{1}{2} f(D_m)$  равно 2B)

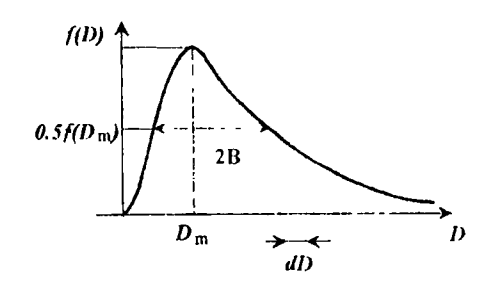


Рис 3.1 Функция распределения частиц по размерам f(D)  $D_m$  — модальный днаметр, B — полуширина распределения

Приведем некоторые наиболее распространенные законы распределения частиц в двухфазных потоках

Обобщенное гамма-распределение

$$f(D) = aD^{\alpha} \exp(-bD^{\beta})$$
 (3.4)

Гамма-распределение

$$f(D) = aD^{\alpha} \exp(-bD) \tag{3.5}$$

Логарифмически нормальное распределение

$$f(D) = aD^{-1} \exp\left[-b(\ln\beta D)^2\right]$$
 (3.6)

Здесь a — нормирующий множитель, который определяется из условия (3.3)

 $b, \alpha, \beta$  – параметры распределения

Отметим, что наряду с одномодальными существуют и полимодальные распределения, которые описываются суммой приведенных выше функций f(D)

Кроме функции распределения для описания дисперсиого состава совокупности частиц применяются различные методы осреднения размеров частиц полифракционного вещества и приведения его к условному монодисперсному составу Выражение для обобщенного среднего диаметра имеет вид:

$$D_{mn} = \begin{pmatrix} \int_{0}^{\infty} D^{m} f(D) dD \\ \frac{0}{\infty} & -D^{m} f(D) dD \end{pmatrix}^{\frac{1}{m-n}}$$
(37)

Варьируя m, n (целые числа) можно получить множество средиих размеров  $D_{mn}$  Наиболее распространенными из них являются.

 $D_{10}$  — среднеарифметический диаметр;

 $D_{20}$  - среднегеометрический днаметр,

 $D_{43}$  - среднемассовый диаметр;

 $D_{32}$  — средний объемно-поверхностный диаметр

В неизотермических потоках наряду с отмеченными выше измеряются следующие параметры: температура газа и частиц, тепловой поток в степку вихревой камеры, полнота сгорания, химический состав компонентов топливной смеси и продуктов сгорания

#### 3 2 Измерение тангенциальной скорости

При экспериментальном исследовании закрученных потоков используется весь арсенал методов диагностики, разработанных для измерения параметров течений газа и жидкости Однако измерения некоторых параметров (в частности, тангепциальной компоненты вектора скорости) имеют свою специфику и требуют применения специальных мегодов Рассмотрим некоторые классические и оригинальные методы применительно к измерениям в закрученных погоках (в вихревых камерах и в струях)

Для измерения тангенциальной скорости в крупногабаритных устройствах (пиклонах, гидроциклонах, вихревых камерах) используются различные механические устройства – вращающиеся флюгеры, шарики, флажки, лонагочные колеса и т п При этом скорость этих дагчиков регистрируется стробоскопическими методами или вращающейся оптикой

распространение Наибольшее при исследовании вихревых камер получили пневмометрические зонды - плоские трехканальные, цилиндрические. трубки шелевые, шаровые пятиканальные. Пито  $\Gamma$  – образным плоским дасадком и т.д. Зонды, как правило, перемещаются по радилсу вихревой камеры и измеряют радиальные распределения давления и компонент вектора скорости

К достоинствам зондовых методов относятся падежность, простота аппаратуры и возможность измерения всех компонент вектора скорости Однако введение зонла в поток искажает реальную картину течения При определенных условиях зонд может возмущать поле течения настолько, что будет изменяться характер исследуемого процесса К основным искажающим факторам относятся торможение потока и связанное с ним искажение профиля скорости, а также смещение оси вихря в сгорону зонда (при этом смещается не только профиль давления, но и профиль скорости

К недостаткам зондового метода относится гакже невозможность измерения нестационарных потоков из-за его плохих динамических характеристик. Причем улучшение временного разрешения дагчика связано с увеличением диаметра зонда, при этом возрастают погрешности измерений из-за искажения структуры потока

Для измерения пульсаний скорости в турбулентных потоках (как изотермических, так и пеизотермических) наиболее распространен метод термоанемометра с нагрегой питью или пченкой Этот метод разрабатывался и совершенствовался в течение ряда десятичегий, и большинство известных в литературе экспериментальных результатов получено с его помощью

Чувствительным элементом датчика термоанемометра является тонкая нить из вольфрама, платины, платиноиридия, платинородия и др. Диаметр ниги находится в пределах  $(1 \div 15)$  мкм, а длина  $(0.5 \div 5)$  мм. Для обеспечения чувствительности нити к скорости потока ее температура должна быть отличной от температуры измеряемой среды. Это достигается подогревом инти электрическим током

В стационарном ламинарном потоке термоанемометр находится в тепловом равновесии (выделяемое на нити за счет падения напряжения джоулево тепло равно теплопередаче в газовый поток). Под воздействием пульсаций скорости в потоке изменяются условия теплообмена и электрическое сопротивление нити, что приводит к пульсациям напряжения на ней Последние регистрируются специальной измерительной схемой и обрабатываются с целью получения необходимой информации о параметрах потока

#### 3.3. Симметричный цилиндрический зонд

При выборе пневмометрического зонда для измерений параметров потока в вихревой камере необходимо учитывать следующие требования

- обеспеченне осесимметричности течения для фиксирования оси вихря на осн камеры,
- для уменьшения торможения вихря диаметр зонда должен быть минимально возможным,
- для предотвращения искажения профиля скоростн зонд не должен нарушать симметрию потока в вихревой камере

Максимально удовлетворяет указанным требованиям симметричный цилинорический зоно, проходящий через весь диаметр камеры (рис 3.2)

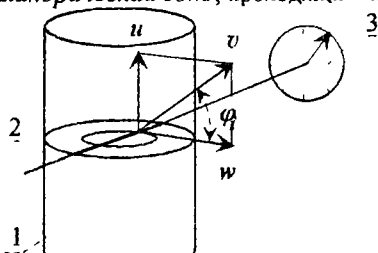


Рис 3 2 Схема цилиндрического зонда

1 - вихревая камера,

2 - цилиндрический зонд,

3 – индикатор угла поворота  $\phi$ 

Зонд представляет собой тонкую металлическую трубку из нержавеющей стали диаметром  $(1\div3)$  мм, на боковой поверхности которой выполнено приемпое отверстие диаметром  $(02\div0.3)$  мм. Зонд проходит через соосные отверстия в боковых стенках вихревой камеры с возможностью его свободного

перемещения по радиусу камеры и вращения вокруг оси зонда. В этом случае при передвижении приемного отверстия не происходит изменения течения в вихревой камере Ралиальное перемещение зонда фиксируется специальным координатником, а его вращение вокруг оси – утловым индикатором. С помощью тонкого гибкого шланга зонд соединяется с микроманометром или U – образным манометром.

#### Градуировка зонда

Если приемное отверстие зоида направлено строго навстречу набегающему потоку, то манометр зафиксирует полное давление  $p_n$ , равное сумме статического p и динамического  $p_{\partial m}$  давлений

$$p_n = p + p_{oun} = p + \frac{\rho |\vec{v}|^2}{2}$$
 (3.8)

При вращении зоида вокруг оси измеряемое им давление будет уменьшагься и при иекотором значении угла поворота  $\varphi_{cm}$  манометр зафиксирует давление, равное статическому p Отмегим, что величина  $\varphi_{cm}$  зависит как от конструкции зонда, так и от параметров потока. Целью градуировки является определение зависимости  $\varphi_{cm}$  от полного давления  $p_n$  для конкретного зонда Схема градуировки представлена иа рис 3 3

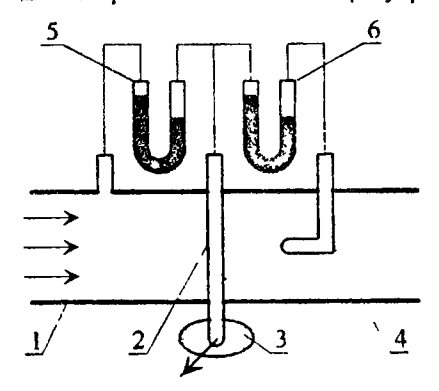


Рис 3 3 Схема градуировки зонда

труба,

2 - цилиндрический зонд,

3 – индикатор угла поворота  $\varphi$ ;

4 трубка Пито,

5,6 - U-образные маиометры

В цилиндрической трубе 1 по ее диаметру устанавливается зонд 2 с индикатором угла повороза 3, при этом приемиое отверстие зонда фиксируется на оси трубы Для измерения полного давления  $p_n$  по оси трубы смонтирована трубка Пито 4, а для измерения статического давления p в боковой стенке трубы выполиено приемное отверстие, соединенное с U – образным манометром

Порядок градуировки следующий Для заданного расхода воздуха на входе в трубу приемное отверстие зоида ориентируется навстречу потоку, при этом уровни жидкости в манометре 6 уравниваются, что соответствует измерению полного давления  $p_n$ . Индикатор угла поворота зонда устанавливается в положение  $\varphi = 0$ 

Вращением зонда вокруг оси устанавливается угол поворота  $\varphi_{cm}$ , соответствующий измерению статического давления p (при этом уравнивается уровни жидкости в манометре 5) Варьируя расход воздуха на входе в трубу, можно получить градуировочную зависимость  $\varphi_{cm}(\hat{p_n})$  для необходимого диапазона измерений.

#### Проведение измерений

Отградуированный зонд устанавливается в исследуемом сеченин z вихревой камеры, с помощью координатника радиальная координата приемного отверстия фиксируется в заданном положении r в диапазоие  $r=0\div R$  Приемное отверстие зонда ориентируется таким образом, чтобы его ось лежала в илоскости перпендикуляриой оси вихревой камеры (при этом показание индикатора соответствует значению угла поворота  $\varphi=0$ )

После подачи воздуха в вихревую камеру вращением зонда устанавливается угол  $\varphi_o$ , соответствующий максимальному измеряемому давлению  $p_{max} = p_n$ . Далсе, после поворота зонда на угол  $\left(\varphi_0 + \varphi_{cm}\right)$  по часовой стрелке и  $\left(\varphi_0 - \varphi_{cm}\right)$  против часовой стрелки измеряется величина статического давления

$$p = \frac{1}{2} \left[ p_{(\phi_o + \phi_{cm})} + p_{(\phi_o - \phi_{cm})} \right]$$
 (3.9)

В соответствие с (3.8) по измеренным значениям  $p_n$ , p рассчитываются модуль вектора скорости

$$|\vec{r}| = \sqrt{\frac{2}{\rho}(p_n - p)}$$
 (3.10)

а по измеренному значению  $\phi_o$  рассчитываются тангенциальная и осевая компоненты  $\vec{v}$ .

$$w = |\vec{v}|\cos\varphi_o = \cos\varphi_o \sqrt{\frac{2}{\rho}(p_n - p)},$$

$$u = |\vec{v}|\sin\varphi_o = \sin\varphi_o \sqrt{\frac{2}{\rho}(p_n - p)}.$$
(3.11)

К недостаткам рассматриваемого метода относится невозможность измерения радиальной компоненты вектора скорости  $\bar{v}$  Отметим, что цилиндрическим зондом без существенной погрешности можно измерять трехмерное поле скорости при условии, что модуль скорости больше ее составляющей, иаправленной вдоль оси зонда (в данном случае радиальной скорости v) в 10 и более раз Это условие, как правило, выполняется для реальных внхревых камер.

При введении зонда в поток происходит торможение тангенциальной скорости и уменьшение статического давления. Для учета вносимого зоидом погрешностей используется поправочная функция S(r), равная отношению распредстений статического давления, измеренных на торцевой стенке камеры с зондом  $\left(p^{30HO}\right)$  и без зонда  $\left(p^{6/30HO}\right)$  Уточненные значения давления и скорости рассчитываются по формулам.

$$p^*(r) = \frac{p(r)}{S(r)};$$
  $w^*(r) = \frac{w(r)}{S^2(r)},$  (3.12)

где 
$$S(r) = \frac{p^{30h\partial}(r)}{p^{6/30h\partial}(r)}$$
 – поправочная функция.

С учетом (3.12) суммарная погрешность измерений параметров потока симметричным цилиндрическим зоидом ие превышает 5%.

# 3.4. Определение тангенциальной скорости по измеренному градиёнту давления в вихревой камере

Введение зонда в объем вихревой камеры нарушает структуру потока, по-ному предпочтительнее использовать беззондовые методы. Одним нз них является косвенный метод измерения распределения таигенциальной компоненты вектора скорости w(r) в внхревой камере по измеренному распределения статического давления p(r) на днище вихревой камеры. Схема измерения представлена на ри. 3.4

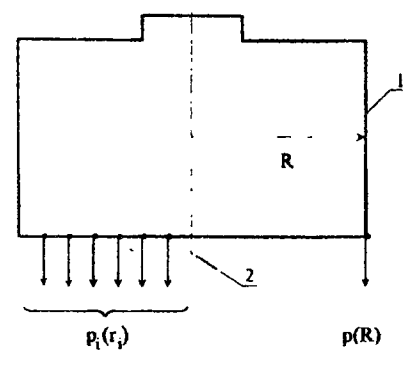


Рис 3 4  $\,$  Схема измерения распределения  $\,p(r)\,.$ 

- 1 вихревая камера,
- 2 прнемные отверстия для измерения давления

Из уравнений движения газа в рамках одномерной модели (параметры потока зависят только от радиальной координаты r) можно получить выражение для радиального граднента давления:

$$\cdot \frac{\mathrm{d}p}{\mathrm{d}r} \approx \rho \frac{w^2(r)}{r} \left[ 1 + \frac{v^2(R)}{w^2(R)} \right] \tag{3.13}$$

Для типичных вихревых камер радиальная скорость обычно мала  $(v/w) \sim 10^{-2} \div 10^{-3}$ , н нз (3.13) следует.

$$w(r) = \sqrt{\frac{r}{\rho}} \frac{\mathrm{d}p(r)}{\mathrm{d}r} \tag{3.14}$$

Распределение p(r), точнее  $p_i(r)$ , на торцевой степке вихревой камеры измеряется с помощью дренажных отверстий, к которым подсоединяются датчики давления По измеренной зависимости p(r) численным дифференцированием (3.14) находится распределение w(r).

При больших значениях скорости потока необходимо учитывать сжимаемость газа. Рассматривая процесс течения в вихревой камере адиабатическим, плотность газа  $\rho$  можно рассчитать по формуле:

$$\rho(r) = \rho(R) \left[ \frac{p(r)}{p(R)} \right]^{k}$$
(3.15)

где  $\rho(R)$ ,  $\rho(R)$  плогность и давление газа на периферии вихревой камеры Подставляя (3.15) в (3.14) получим

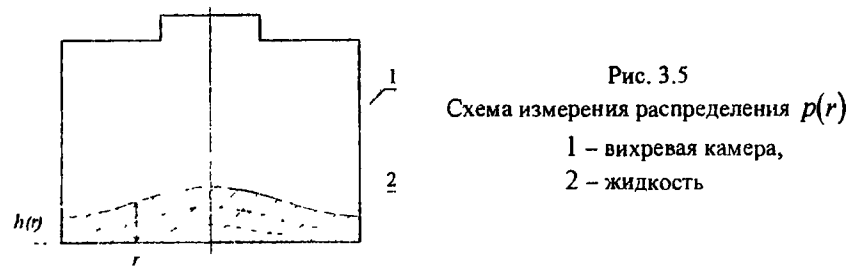
$$w(r) = \sqrt{\rho(R) \left[ \frac{p(r)}{p(R)} \right]^{\frac{1}{k}} \frac{\mathrm{d}p(r)}{\mathrm{d}r}}$$
 (3.16)

данного метода составляет ~ 5 % Погрешность  $\bar{r} = (r/R) = 0 \div 0.8$  Погрешность в большой степени зависит от алгоритма операции численного дифференцирования таблично заданной функции  $p_i(r_i)$ относится классу некопректных обратных Ланная залача ee решения необходимо использовать математической физики специальные методы (сглаживание, регуляризация и т.д.).

Следует отметить, что рассматриваемый метод можно использовать для измерения w(r) в длинных вихревых камерах с распределенным подводом газа; для таких камер одномерная модель течения является достаточно алекватной

# 3.5. Измерение поля статического давления с помощью свободной поверхности жидкости

При измерении радиального распределения статического давления p(r) на торцевой поверхности вихревой камеры небольших габаритов размещение большого количества приемных отверстий связано с техническими сложностями В работах И И Смульского был предложен оригинальный метод измерения p(r) с помощью свободной поверхности жидкости (рис 3 5)



Нижняя часть вихревой камеры заполняется вязкой жидкостью. При установившемся движении формируется распределение p(r), одинаковое по высоте вихревой камеры (в предположении одномерности течения). Под воздействием этого давления свободная поверхность жидкости искривляется и формируется профиль h(r), гле h(r) — высота столба жидкости на радиусе r

Давление на горцевой стенке вихревой камеры можно представить в виде суммы

$$p_o(r) = p(r) + \rho_{\infty} h(r) \tag{3.17}$$

где p(r) – давление газа над жидкостью;

 $ho_{\infty}h(r)$  – давление столба жидкости высотой h(r),

 $ho_{
m ac}$  — плотность жидкости.

Если жидкость вязкая и не увлекается вихрем во вращение, то давление на дне будет везде одинаково

$$p_o = p(r) + \rho_{\infty}h(r) = C \tag{3.18}$$

Константа C находится из условия на периферии вихревой камеры (r=R)

$$C = p(R) + \rho_{\infty} h(R)$$

Подставляя C в (3.17), получим

$$p(r) = p(R) - \rho_{sc}[h(r) - h(R)]$$
 (3.19)

Таким образом, для определения давления в вихревой камере по формуле (3.19) необходимо измерить давление на периферии камеры p(R) и профиль свободной поверхности жидкости h(r) (например, фотографированием через прозрачиые стенки камеры)

Под действием вихря жидкость на торцевой стенке камеры может вовлекаться во вращение, что будет искажать результаты измерений. Для оценки погрешностей измерения p(r) рассмотрим касательные напряжения в газе  $(\tau)$  и в жидкости  $(\tau_{\infty})$  на поверхности раздела:

$$\tau = -\mu \frac{\partial w}{\partial z}, \qquad \tau_{\mathcal{K}} = -\mu_{\mathcal{H}} \frac{\partial w_{\mathcal{K}}}{\partial z}$$
 (3.20)

где  $\mu$ ,  $\mu_{\text{ж}}$  – коэффициенты динамической вязкости газа и жидкости, соответственно

Так как на границе раздела фаз касательные напряжения равнь ( $\tau = \tau_{\rm loc}$ ), то из (3 20) следует

$$\frac{\partial w_{_{MC}}}{\partial z} = \frac{\mu}{\mu_{_{MC}}} \frac{\partial w}{\partial z} \tag{3.21}$$

С учетом того, что скорости пропорциональны градиентам, тангенциальная скорость жидкости приближенно будет определяться как

$$w_{\mathcal{H}} \approx w \left(\frac{\mu}{\mu_{\mathcal{H}}}\right)$$

Выражая w,  $w_{,w}$  через радиальные градиенты давления (3.14), получим огношение перепадов давления в жидкости и газе

$$\frac{\Delta p_{\rm JK}}{\Delta p} \approx \frac{\rho_{\rm JK}}{\rho} \left(\frac{\mu}{\mu_{\rm JK}}\right)^2 \tag{3.22}$$

Подставляя в (3 22) значения плотности и динамической вязкости для различных жидкостей, получим следующие оценки

$$\bullet$$
 для системы вода – воздух  $\dfrac{\Delta p_{\mathscr{H}}}{\Delta p}$   $\sim 0.2$  ,

• для системы вода – глицерин 
$$\frac{\Delta p_{\mathscr{H}}}{\Delta p} \sim 4 \cdot 10^{-6}$$

Таким образом, для достаточно вязких жидкостей радиальное изменение давления, вызванное ее вынужденным вращением, намного меньще радиального изменения давления в газе В экспериментах в качестве жидкости обычно используют глицерии, подкрашенный тушью или белой окисью цинка При использовании воды погрешность может достигать 20 %

При больших значениях тангенциальной скорости газа в камере увеличивается его воздействие на жидкость, и она приходит во вращение Вблизн оси возникают большие разрежения, и высокий приосевой столбик жидкости разбрызгнвается центробежными силами После этого профиль свободной поверхности h(r) не отражает радиального распределения статического давления в камере p(r) Как показали эксперименты, вращение жидкости в тиличных вихревых камерах наступает при значениях тангенциальной скорости  $w_{max} \approx (10 \div 15) \, \text{м} \cdot \text{c}^{-1}$  Согласно (3.14) и (3.19), высота поднятия жидкости в центре h(0) - h(R) равна

$$h(0) - h(R) = \frac{\rho}{\rho_{\infty}} w_{max}^2 \int_0^1 \frac{w}{\bar{r} \cdot w_{max}} d\bar{r}$$
 (3.23)

The 
$$r=\frac{r}{R}$$
,

и' имх — значение гангенциальной скорости в вихревой камере, при которой жидкость вовлекается во вращение

С помощью уравнения (3.23) и экспериментально определенной *W*<sub>мах</sub> можно оценить границы применимости рассматриваемого метода для колкретион вогревой камеры



# Лекция гетвертая

#### МЕТОДЫ БЕСКОНТАКТНОЙ ДИАГНОСТИКИ

#### 4 1. Классификация методов

Бесконтактные методы основаны на измерении провзаимодействовавщего с исследуемым потоком зондирующего излучения (активная диагностика) или собственного излучения потока (пассивная диагностика) В отличие от зондовых методов, которые являются узкоспециализированными, бесконтактные методы позволяют измерять, как правило, одновременно несколько параметров, т.е. являются многопрофильными

По виду зондирующего излучения бесконтактные методы делятся на радиоактивные, рентгеновские и оптические Радноактивные методы включают деиси гометрию и метод радиоактивных изотопов (МРИ) Денситометрия основана на измерении поглощения  $\alpha$ ,  $\beta$  или  $\gamma$  – излучения исследуемым потоком и позволяет определять концентрацию частиц в заданном участке двухфазного потока при этом ограничивающие поток стенки должны быть прозрачными для радиоактивного излучения В МРИ источниками излучения являются сами частицы, "помеченные" радноактивным веществом Этот мегод позволяет получить информацию о локальных характеристиках движения "меченых" частиц – скорости и ускорении, времени пребывания и траекториях частиц в потоке

• Рентиеновские методы включают рентгенофотосъемку, рентиенокиносъемку и рентгеновидеосъемку Рентгенофотосъемка — это получение отдельных фотоснимков в рентгеновских лучах при малых и больних (метод греков) экспозициях При исследовании динамики процессов рентгеновское излучение преобразуется в видимое с помощью специальных электроннооптических преобразователей (ЭОН) Изображение с ЭОН может быть снято кинокамерой или записано на видеомагнитофой. В последнем случае записывается сформированный ЭОП электрический сигнал Рептгеновские методы используются в основном для визуализации двухфазных течений в непрозрачных каналах, однако в некоторых случаях с их помощью можно проводить и количественные измерения (распределение концентрации частиц в потоке, поле скоростей).

Просвечиванием поля течения в разных ракурсах с использованием специальных математических методов обработки, можно найти пространственное распределение частиц в потоке (томография).

Преимущество рассмотренных методов заключается в возможиости изучения процессов в реальных установках (в каналах и вихревых камерах с непрозрачными стенками). Недостатками являются высокая стоимость аппаратуры, малая информативность методов, повышенные требования к гехнике безопасности при проведении экспериментов с вредным для здоровья излучением

Наибольшее распространение в практике получили оптические методы диагностики, обладающие высокой информативностью. Классификация этих методов представлена на рис. 4.1

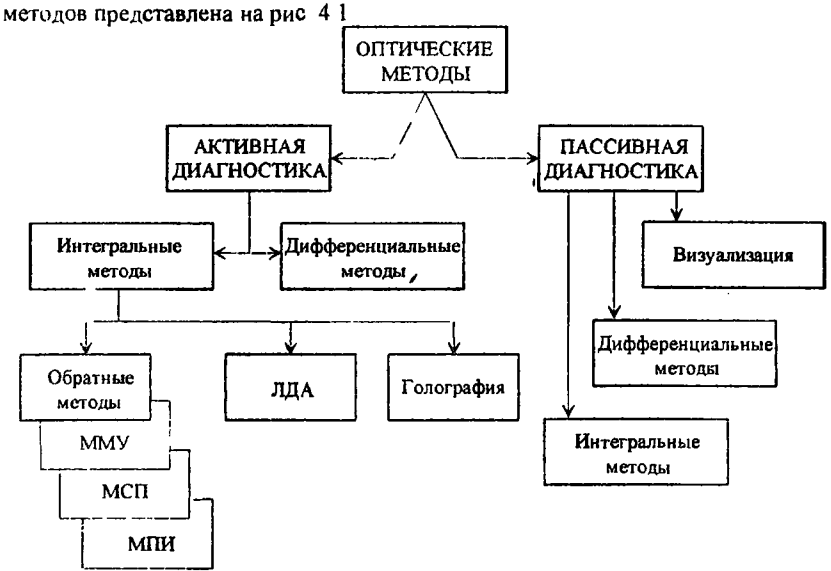


Рис. 4.1 Классификация оптических методов диагиостики

К методам пассивной диагиостики относятся визуализация потока, дифференциальные и интегральные методы.

Визуализация закрученного течения позволяет наблюдать и выявлять потока Для визуализации структуру течения жидкостей непользуются краска, алюминневая пудра, чернила и т.д., а для газов - соляная кислота. четыреххлористый титаи, a также сигаретный дым Визуализированный поток регистрируется с помощью фото-, кино- и видеосъемки (импульсная и теневая съемка, стробоскопическая съемка, скоростная киносьемка и т д ).

В дифференциальных и интегральных методах пассивной диагностики излучение от измерительного объема, выделяемого в исследуемом потоке специальной оптической системой, регистрируется и обрабатывается с помощью оптико-электроиного прибора.

В лифференциальных методах вероятность появления в измерительном объеме более чем одной частицы минимальна (т.е измерительный объем достаточно мал) Эти методы позволяют определять концентрацию, размеры, скорость, температуру отдельных частиц, проходящих через измерительный объем (фотоэлектрические счетчики, детекторы частиц и т д)

В интегральных методах анализируется излучение измерительного объема, в котором находится совокупность частиц (определение осредненной гемперагуры потока методами оптической пирометрии, например)

Нассивные мегоды диагностики применяются, в основном, для светящихся объектов (пламена, раскаленные струи и т п.).

Активные методы оптической диагностики также можно разделить на дифференциальные (в измерительном объеме находится одна частица) и интегральные (исследуется совокупность частиц). В дифференциальных методах анализируется результат взаимодействия зондирующего излучения с отдельной частицей (поглощение, рассеяние или отражение света)

В интегральных методах объем среды, приходящийся на отдельную частицу, намного меньше измерительного объема К этим методам относятся голография, лазерная доплеровская анемометрия (ЛДА) и обратные методы оптики вэрозолей

Голографические методы можно рассмагривать как пространственную внзуализацию потока Они позволяют получить информацию о его структуре, распределении концентрации и дисперсности частиц (для двухфазных закрученных потоков)

ЛДА используются в основном для измерения скоростей газа и частиц в потоке, однако в некогорых случаях позволяют получить информацию о концентрации и лисперсности частиц

Обратные методы оптики аэрозолей основаны на измерении количественных характеристик рассеянного или ослаблениого дисперсной средой зондирующего излучения и позволяют определять размеры и концентрацию частиц В зависимости от угла наблюдения  $\theta$  (угол между наиравлением распространения зондирующего луча и направлением от приемника излучения к измерительному объему) реализуются следующие методы.

$$\theta = 0^{\circ}$$
 – метод спектральной прозрачности (МСП), при когором регистрируется ослабленное средой зондирующее излучение,

$$0^{\circ} < \theta \le 10^{\circ}$$
 — метод малых углов индикатрисы рассеяния (ММУ),

$$\theta = 0^{\circ} \div 180^{\circ}$$
 — метод полной индикатрисы (МПИ);

$$\theta = 180^{\circ}$$
 – лидарный метод, при котором регистрируется отраженный от среды снгнал

#### 42. Источник зондирующего излучения

Необходимым элементом оптико-электронного прибора при активных метолах является источник зондирующего излучения В качестве источников излучения используются газоразрядные приборы, лампы накаливания полупроводниковые светодиоды ΤП. В частности, высокими обладают метрологическими характеристиками температуриые накаливания с плоской вольфрамовой нитью СИ-8-200 и СИ-10-300. излучение которых соответствует спектру абсолютного черного тела (АЧТ).

Качественный скачок в развитии оптических методов диагностики произошел с появлением в 60-х годах оптических квантовых генерагоров (ОКГ) или лазеров Термин "лазер" соответствует аббревиатуре "Light Amplification by Simulated Emission of Radiation" (усиление силы света с помощью вынужденного излучения)

Лазер является источником когерентного оптического излучения и представляет собой резоиатор, состоящий из двух плоских или сферических зеркал, между которыми находится активная среда. По типу активной среды лазеры делятся на твердотельные, газовые, жидкостные и полупроводниковые К твердотельным лазерам относятся рубиновый (длина волны излучения  $\lambda = 0.6943 \text{ MKM}$ ). лазер на стекле с введенными атомами неолима  $(\lambda = 1.06 \text{ мкм})$  и лазер на иттриево-алюминиевом гранате  $(\lambda = 1.06 \text{ мкм})$ Твердотельные лазеры работают в основном в импульсном режиме, мощиость излучения в импульсе – десятки киловатт В газовом лазере активной средой является газ или смесь газов Наиболее распространены гелий-неоновые  $(\lambda = 0.63, 115; и 3 39 мкм)$ , гелий-кадмиевые  $(\lambda = 0.44 мкм)$ , аргоновые (  $\lambda = 0.49 \, \text{H} \, 0.5 \, \text{мкм}$  ) ОКГ, а также лазеры на углекислом газе (  $\lambda = 10.6 \, \text{мкм}$  ) Эти лазеры излучают в основном в непрерывиом режиме Монцность излучения типпчных газовых дазеров составляет  $10^{-3} \div 10^{-1}$  Вт (гелий-неоновый и гелнії кадмиєвый), 0.1 + 10 Вт (аргоновый), 1 ÷ 100 Вт (лазер на углекислом (a3e)

В жильостных лазерах в качестве активной среды используются растворы органических красителей. Основные их достоинства – возможность инирокого выбора д ины волны излучения и ее плавной перестройки.

Полупроводниковые лазеры являются малогабаритными приборами Они позволяют получать излучение в широком спектральном диапазоне (от ультрафиолетового до инфракрасного) Большинство из них работает только в импульсном режиме и при температурах жидкого азота или гелия

Основными характеристиками лазеров как источников зондирующего излучения являются режим работы (непрерывный или импульсный), длина волны и мощность излучения, расходимость пучка, спектральный состав излучения, когерентность излучения, а также флуктуации выходной мощности

Малая расходимость пучка (когорая обычно не превышает 2–3 угловых минут) позволяет технически легко решать задачу фокусировки луча в заданной точке исследуемого потока Кроме того, для грансформации луча не требуются громоздкие детали оптической системы (линзы, призмы, зеркала и т д ).

Спектральный состав излучения определяет степень его монохроматичности (  $\Delta\lambda/\lambda$  ), где  $\Delta\lambda$  – ширина спектральной линии Высокая степень монохроматичности лазерного излучения в сочетании с его направленностью ставит лазер вне конкуренции с традиционными источниками света

Предположим, что тепловой источник мощностью  $1\,\mathrm{BT}$  излучает в диапазопе  $\lambda=(0\,3\div1\,3)$  мкм. При этом на длине волны  $\lambda=0\,5$  мкм. в полосе частот  $\Delta\lambda=5\,10^{-4}$  мкм. будет сосредоточена мощность  $5\cdot10^{-4}$  Вт. Такой источник на расстоящии  $1\,\mathrm{M}$  создаст плотность погока излучения (в указанной полосе частот)  $4\cdot10^{-5}$  Вт. м.  $^{-2}$  В то же время излучение аргонового лазера мощностью  $1\,\mathrm{BT}$  скопцентрировано в пучке с площадью  $1\,\mathrm{KM}^2$ , а ширина спектрачьной линии составляет  $\Delta\lambda\sim5\,10^{-5}\,\mathrm{MKM}$  Плотность потока излучения при этом  $10^6\,\mathrm{B1}$  м.  $^{-2}$ , что в  $2\,5\cdot10^{10}\,\mathrm{pas}$  больше, чем позволяет получить тепловой источник той же мощности

В экспериментальных установках наиболее хорощо зарекомендовали себя газовые лазеры, обладающие рядом преимуществ перед другими гипами ОКІ (высокая степень монохроматичности, малая угловая расходимость пучка, малые флуктуации мощности, простога в эксплуатации и экономичность, невысокая стоимость)

#### 4.3. Измерение температуры потока

В настоящее время разработано и доведено до практического применения большое количество методов бесконт ктного измерения температуры раскаленных потоков. Рассмотрим два основных классических метода оптической пирометрии – цветовой и яркостной

Первый из них –  $\partial$ вухиветная пирометрия ("метод сине-красного отношения") основан на регистрации излучения исследуемого объекта в двух специально выбранных узких полосах спектра  $\lambda_a$  и  $\lambda_a$  (рис 4.2) Выходной сигнал пирометра, являющийся функцией температуры, есть отношение двух сигналов, пропорциональных спектральной интенсивности излучения в этих полосах  $J(\lambda_a)$  и  $J(\lambda_a)$ 

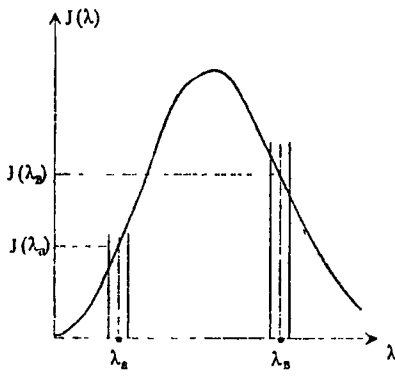


Рис. 4.2 Спектр излучения исследуемого объекта:  $J(\lambda)$  — спектральная интенсивность излучения,  $\lambda_a$ ,  $\lambda_s$  — длины воли, на которых проводится измерение

Схема оптического пирометра для реализации данного метода представлена на рис 4.3.

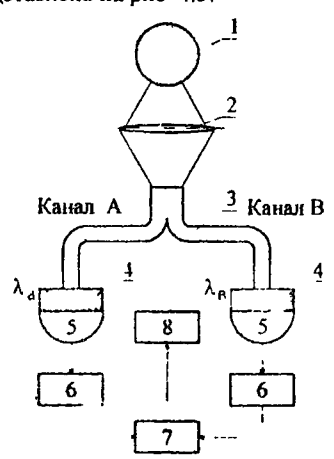


Рис 4 3 Схема оптического пирометра.

- 1 -- исследуемый поток,
- 2 оптическая система,
- 3 световоды,
- 4 светофильтры;
- 5 приемники излучения,
- / 6 усилители.
  - 7 делитель,
  - 8 осциллограф

Излучение от исследуемого потока 1 через оптическую систему 2 и волоконные световоды 3 параллельно поступает по двум каналам (A и B), включающим светофильтры 4, приемники излучения 5 и усилители 6, на схему деления 7. С выхода делителя 7 сигнал, пропорциональный отношению интенсивностей излучения  $J(\lambda_a)/J(\lambda_b)$ , поступает на регистрирующий прибор (осциллограф) 8. Светофильтры 4 (стеклянные или интерференционные) выделяют из спектра излучения объекта  $J(\lambda_a)$  и  $J(\lambda_b^*)$  Выходной сигнал от каждого приемника излучения пропорционален интенсивности излучения на выбранной длине волны и связан с температурой объекта T и законом Вина:

$$J(\lambda_a) = C_a \varepsilon_a \lambda_a^{-5} \exp\left(-\frac{C_2}{\lambda_a T}\right)$$

$$J(\lambda_a) = C_a \varepsilon_a \lambda_a^{-5} \exp\left(-\frac{C_2}{\lambda_a T}\right)$$
(4.1)

где  $C_a$ ,  $C_a$  - приборные константы;

 $m{arepsilon}_a, m{arepsilon}_e$  – коэффициенты черноты для  $\lambda_a$  и  $\lambda_e$ ,

 $C_2 = 1.44 \cdot 10^7 \ \text{нм} \cdot \text{К}$  – вторая постоянная Планка.

Из (4.1) следует:

$$\frac{J(\lambda_a)}{J(\lambda_e)} = \frac{C_a \varepsilon_a \lambda_e^5}{C_e \varepsilon_e \lambda_a^5} \exp \left[ -\frac{C_2}{T} \left( \frac{1}{\lambda_a} - \frac{1}{\lambda_e} \right) \right]$$
(4.2)

Отсюда можно выразить искомую величину температуры T

$$T = \frac{C_2 \left(\frac{1}{\lambda_a} - \frac{1}{\lambda_a}\right)}{\ln \left[\frac{J(\lambda_a)}{J(\lambda_a)}\right] - \ln C}$$
(4.3)

где 
$$C = \frac{C_a \varepsilon_a}{C_e \varepsilon_e} \left( \frac{\lambda_a}{\lambda_e} \right)^{-5} = \text{const.}$$

Величина C определяется путем градуировки пирометра Если априори известно, что излучение объекта соответствует излучению абсолютно черного тела (АЧТ) или "серого" тела ( $\varepsilon_a = \varepsilon_b = \text{const}$ ), то

$$C = \frac{C_a}{C_a} \left(\frac{\lambda_a}{\lambda_a}\right)^{-5}$$

Рассмотрим один из *яркостных методов* измерения температуры (метод Шмидта), который пригоден только для тех объектов, излучение которых соответствует излучению АЧТ или "серого" тела ( $\varepsilon$  = const) Схема даниого метода показана на рис. 4.4.

Измерительная установка состоит из модели AЧТ I (лампа с вольфрамовой пластиной типа CH-8-200, CH-10-300), оптической системы 3, приеминка излучения 4 и осциллографа 5.

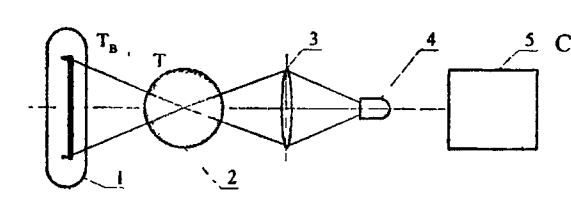


Рис 44

5 Схема яркостного пирометра:

1 - температурная лампа;

2 - исследуемый поток;

3 - оптическая система;

4 - приемник излучения,

5 – осциллогоаф

Измерения проводятся в три этапа.

- измеряется интенсивность излучения объекта  $J_1$  (лампа выключена),
- измерлется интенсивность излучения объекта и лампы  $J_2$  (лампа включена);
- измеряется интенсивность излучения лампы  $J_3$  (объект удален).

Зиачения  $J_1$ ,  $J_2$ ,  $J_3$  связаны с температурой АЧТ  $(T_e)$  и температурой объекта (T) следующими соотношениями:

$$J_{1} = \varepsilon \sigma T^{4}$$

$$J_{2} = J_{1} + (1 - k_{n})J_{3} = \varepsilon \sigma T^{4} + (1 - k_{n})\sigma T_{6}^{4}$$

$$J_{3} = \sigma T^{4}$$

$$(4.4)$$

где *σ* - постоянная Стефаиа-Больцмана;

Е- коэффициент черноты,

 $k_n$  – коэффициент поглощения

Из соотношений (4.4) можио выразить коэффициент черноты и температуру исследуемого объекта.

$$\varepsilon = k_n = \frac{J_3 - J_2 - J_1}{J_3}$$

$$T = \left[ \frac{J_1 \cdot J_3}{\sigma(J_1 + J_3 - J_2)} \right]^{0.25}$$
(4.5)

## 4.4. Измерение скорости потока с помощью ЛДА

Принцип действия ЛДА основан на измерении доплеровского сдвига частоты рассеянного движущейся частицей (или совокупностью частиц) излучения, который является линейной функцией скорости частицы. Для диагностики газовых закрученных потоков в них вводят частицы. размер которых должен быть достаточно малым, чтобы выполнялось условие полного их увлечения потоком. Методы ЛЛА нашли широкое применение в диагностике закрученных потоков благодаря их высоким метрологическим характеристикам;

- диапазон измеряемых скоростей составляет  $(10^{-6} \pm 10^{6}) \, \text{м} \cdot \text{c}^{-1}$ ;
- пространственное разрешение до  $10^{-11}$  см<sup>3</sup>:
- временное разрешение  $(10^{-7} \div 10^{-9}) c$ ;
- погрешность измерений можно довести до  $(0.2 \div 0.3)$  %.

Типичная схема ЛЛА представлена на рис. 4.5. ОКГ 1 излучает монохроматическую световую волну с круговой частотой  $\omega_0$  и волновым вектором  $\vec{k}_0$ . Частица 3, движущаяся в потоке со скоростью  $\vec{v}$ , рассеивает зондирующее излучение по всем направлениям. Рассеянная в направлении приемника излучения 2 волна с волновым вектором  $k_n$  будет иметь частоту  $\omega_n$ . В соответствии с эффектом Доплера движущаяся частица воспринимает световую волну с частотой  $\omega' \neq \omega_0$ :

$$\omega' = \omega_0 \left( 1 - \frac{|\vec{v}|}{c} \cos \alpha \right) \tag{4.6}$$

где  $\alpha$  - угол между направлением распространения волны и вектором  $\nabla$ (направлением движения частицы);

с - скорость света.

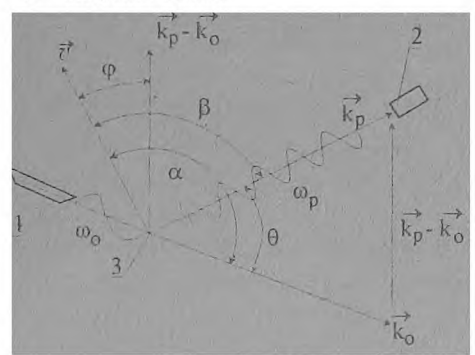


Рис. 4.5 Схема ЛДА:

- 1 ОКГ; 2 приемник излучения;
  - 3 движущаяся частица

Если частица удаляется от источника излучения, то  $\omega' < \omega_0$ , а в случае ее приближения к источнику  $\omega' > \omega_0$ . Если угол  $\alpha = 90^\circ$  то  $\omega' = \omega_0$  Отметим, что формула (4.6) применима в случае  $|\vec{v}| << c$ 

Движущуюся частицу, с другой стороны, можно рассматривать как излучатель света с частотой  $\omega'$ . Приемник излучения за счет эффекта Доплера зарегистрирует излучение с частотой  $\omega_p \neq \omega'$ :

$$\omega_p = \omega' \left( 1 - \frac{|\bar{z}|}{c} \cos \beta \right)^{-1} \tag{4.7}$$

где  $oldsymbol{eta}$  – угол между направлением распространения волны  $\omega_p$  и направлением вектора скорости частицы  $\vec{v}$  .

Из (4.6) и (47) следует

$$\omega_p = \omega_0 \frac{1 - \frac{|\vec{\tau}|}{c} \cos \alpha}{1 - \frac{|\vec{\tau}|}{c} \cos \beta} \tag{4.8}$$

Предполагая, что  $|\vec{v}| << c$ , разложим знаменатель в степенной ряд и оставим только члены, линейные относительно  $|\vec{v}|$ .

$$\omega_{p} = \omega_{0} \left( 1 - \frac{|\vec{v}|}{c} \cos \alpha \right) \left[ 1 + \frac{|\vec{v}|}{c} \cos \beta + \left( \frac{|\vec{v}|}{c} \cos \beta \right)^{2} + \dots \right]^{-1}$$

$$\omega_{p} = \omega_{0} \left[ 1 - \frac{|\vec{v}|}{c} (\cos \alpha - \cos \beta) \right]$$
(4.9)

Формула (4.9) лежит в основе метода ЛДА Доплеровский сдвиг частот  $\omega_D$  можио записать в виде

$$\omega_D = \omega_p - \omega_0 = \gamma |\vec{z}| \cos \varphi \tag{4.10}$$

где  $|ec{r}|$ COSarphi – проекция вектора скорости на направление разностного вектора  $\left(ec{k}_p - ec{k}_0
ight)$ 

Коэффициент  $\gamma$  иаходится через известные параметры оптической системы (углы  $\varphi$  и  $\theta$ ) и длину волиы излучения  $\lambda$  зоидирующего ОКГ. Из (4.9) и (4.10) следует выражение для определения скорости частицы

$$|\vec{r}| = \frac{\omega_D}{\gamma \cos \varphi} = \omega_D \lambda \left( 4\pi \cos \varphi \cdot \sin \frac{\theta}{2} \right)^{-1}$$
 (4.11)

Из анализа формулы (4.11) следует, что максимальный доплеровский сдвиг  $\omega_D$  получается при  $\theta=180^\circ$  и  $\varphi=0^\circ$  и составляет

$$(\omega_D)_{\text{max}} = \frac{4\pi |\vec{v}|}{\lambda} \tag{4.12}$$

Для гелий-иеоиовых лазеров  $(\omega_D)_{\rm max} = 4.53~{\rm M}\Gamma$ ц, а для лазера иа углекислом газе  $(\omega_D)_{\rm max} = 0.19~{\rm M}\Gamma$ ц (при значениях скорости частиц, типичных для вихревых камер)

При коиструировании доплеровских анемометров используются два основных способа выделения доплеровского сдвига частот  $\omega_D$  – фотоэлектроиный и оптический Схема фотоэлектроиного ЛДА приведена на рис 4.6

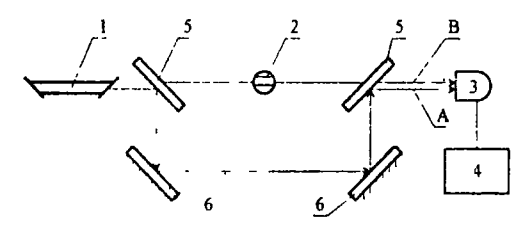


Рис 4.6 Схема фотоэлектрониого ЛДА:

- $1 OK\Gamma$
- 2 исследуемый объект;
- 3 приемиик излучения,
- 4 электрониый блок,
- 5 полупрозрачиые зеркала;
- 6 отражатели

Способ основан на гетеродинном преобразовании опорного  $\nu$  рассеянию излучений исследуемым объектом излучения. При этом поступающие на вход приемника излучения 3 пучки A и B с разной частотой преобразуются с помощью электроиной схемы и в разность частот  $\omega_D$ .

При оптическом (спектральном) методе опориь:й и рассеянный объектом пучки подаются на вход спектрального прибора с высоким разрешением (интерферометр Фабри-Перо) Доплеровский сдвиг частот  $\omega_D$  определяется путем измерения на выходе интерферометра спектрального смещения рассеянного объектом излучения по огношению к опорному пучку



# Лекция пятая

### ОБРАТНЫЕ МЕТОДЫ ОПТИКИ АЭРОЗОЛЕЙ

# 5.1 Оптические характеристики конденсированных частиц Одиночные частицы

При взаимодействии частицы с полем падающего на нее оптического излучения появляется поле излучения, рассеянное в иных направлениях, чем поле падающего излучения. При этом поток падающего излучения ослабляется за счет рассеяния и поглощения излучения частицей. Для количественного описания этих эффектов вводятся факторы эффективности ослабления Q, рассеяния  $Q_p$  и поглощения  $Q_n$  – доля попавшего внутрь контура частицы потока излучения соответственно уходящая из прямого пучка, рассеяния частицей во всех направлениях и поглощенная частицей Факторы эффективности являются безразмерными величинами и связаиы между собой соотношеннем

$$Q = Q_p + Q_n \tag{51}$$

В оптике аэрозолей показано, что для однородных сферических частиц количественные характеристики светорассеяния полностью определяются двумя параметрами – комплексным показателем преломления материала частицы m=n-iæ (n-показатель преломления, æ-показатель поглощения) и безразмерным параметром оифракции (параметром Ми).

$$\alpha = \pi D/\lambda \tag{5.2}$$

где D – диамегр частицы,  $\lambda$  – длина волны зондирующего излучения

Если размер частицы миого меньше длины волны излучения  $((D < 0.06\lambda)$ , то факторы эффективности определяются аналитическими зависимостями (релеевское рассеяние)

$$Q_{p} = \frac{8}{3} \frac{\left[ \left( n^{2} - \omega^{2} + 2 \right) + \left( n^{2} + \dot{\omega}^{2} \right)^{2} \right]^{2} + \left( 6n\omega \right)^{2}}{\left[ \left( n^{2} - \omega^{2} + 2 \right)^{2} + \left( 2n\omega \right)^{2} \right]^{2}} \alpha^{4}$$
 (5 3)

$$Q = \frac{24n\pi}{\left(2 + n^2 - \pi^2\right)^2 + \left(2n\pi\right)^2} \alpha$$
 (5.4)

Другой предельный случай, когда размер частиц много больше длины волны  $(\alpha>30)$ , характеризуется тем, что фактор эффективности рассеяния практически постоянен  $Q_p={\rm const}=2)$ , те рассеяние не зависит от длины волны зондирующего излучения и от оптических констант материала частиц В этом случае взаимодействие света с частицей определяется законами геометрической оптики

Точное аналитическое решение проблемы для произвольных значений  $\alpha$  было получено немецким ученым Ми (1908 г.) в результате применения теории электромагнитного поля Максвелла к задаче рассеяния света однородной сферической частицей, на которую падает плоская монохроматическая волна Донедение решения до численных значений возможно только с применением компьютеров

Наряду с факторами эффективности важной характеристикой является индикатриса рассеяния  $\gamma(\theta,\alpha)$  — отношение потока излучения, рассеянного частиней в единичном телесном угле в данном направлении  $\theta$  к полному потоку рассеянного излучения Индикатриса рассеяния является безразмерной функцией и характеризует пространственное распределение рассеянного частицей излучения Интеграл от нее по всему пространству равен единице. Угол  $\theta$  определяется направлением падающей волны, точкой рассеяния и направлением наблюдения Форма индикатрисы рассеяния в сильной степени зависит от величины нараметра  $\alpha$ .

В случае частиц малых размеров ( $\alpha << 1$  и  $|m|(\alpha < 1)$  характерна релеевская индикатриса рассеяния, определяемая соотношением

$$\gamma(\theta) = \frac{3}{4} \left( 1 + \cos^2 \theta \right) \tag{5.5}$$

Для таких частиц форма, индикагрисы симметрична, а угловое распределение рассеянного излучения одинаково для всех частиц и ие зависит ни от нараметра дифракции  $\alpha$ , ни от величины комплексного показателя предомления m

#### Монодисперсная среда

При прохождении излучения с длиной волны  $\lambda$  через елой толщиной I, состоящий из равномерно распределенных монодисперсных частиц диаметром D с концентрацией  $C_n$ , происходит его ослабление за счет рассеяния и поглощения частицами Количественной характеристикой ослабления является спектральный коэффициент пропускания  $T_{\lambda}$ , равный отношению потока излучения, прошедшего сквозь слой, к упавшему на него потоку излучения Величина  $T_{\lambda}$  определяется законом Бугера

$$T_{\lambda} = \exp(-\tau_{\lambda}) = \exp(-K_{\lambda}l) \tag{5.6}$$

где  $\tau_{\lambda}$  - оптическая толщина слоя,

 $K_{\lambda}$  – показатель ослабления (характеризует ослабление света единичным объемом среды, содержащим  $c_n$  независимо рассеивающих частиц).

Выражение для  $K_{\lambda}$  можно представить в виде:

$$K_{\lambda} = \frac{\pi D^2}{4} c_n Q(\alpha, m) \tag{5.7}$$

Характеристики света, рассеянного или ослабленного монодисперсной средой (без учета влияния многократного рассеяния) могут быть определены простым суммированием результатов одиночных взаимодействий

#### Полидисперсная среда

При рассмотрении полидисперсных сред будем предполагать, что частицы сферические, рассеяние света на каждой из них происходит независимо от других, а слой частиц достаточно тонкий, так что рассеяние второго и более порядков можно не учитывать. Показатель ослабления для полиднеперсной среды с функцией распределения f(D) равен

$$K_{\lambda} = \frac{\pi c_n}{4} \int_{0}^{\infty} Q(\alpha, m) D^2 f(D) dD$$
 (58)

Заменяя  $c_n$  через  $c_m$  по формулам (3.1), выражение (5.8) можно представить в виде.

$$K_{\lambda} = \frac{3c_m \int_{0}^{\infty} Q(\alpha, m) D^2 f(D) dD}{\int_{0}^{\infty} D^2 f(D) dD}$$
(5.9)

По аналогии с одиночной частицей вводится понятие усредненного фактора эффективности для полидисперсной среды

$$\overline{Q} = \frac{\int_{0}^{\infty} Q(\alpha, m)D^{2} f(D)dD}{\int_{0}^{\infty} D^{2} f(D)dD}$$
(5.10)

С учетом (5.9) выражение для оптической толщины полидисперсной среды имеет вид:

$$\dot{\tau}_{\lambda} = \frac{3}{2} c_m l \frac{\overline{Q}}{\rho_{\kappa} D_{32}} \tag{5.11}$$

Важную роль в описании оптических характеристик полидисперсной среды играет усредненный параметр дифракции:

$$\alpha_{32} = \frac{\pi D_{32}}{\lambda} \tag{5.12}$$

Этот. параметр играет роль, во многом аналогичную параметру дифракции  $\alpha$  в случае монодисперсной среды.

#### 5.2. Методы измерения функции распределения

Рассмотрим основные методы определения функции распределения частиц по размерам f(D), развитые в работах К.С.Шифрина.

#### Метод спектральной прозрачности

Метод спектральной прозрачности (МСП) основан на измерении спектрального коэффициента пропускания двухфазного потока  $T(\lambda)$  в некотором диапазоне длии воли ( $\lambda_{min}$ ,  $\lambda_{max}$ ). Исходным уравнением метода является интегральное уравнение Фредгольма, которое следует из (5.6) и (5.8):

$$\tau(\lambda) = \frac{\pi c_n l}{4} \int_{0}^{\infty} Q(\alpha, m) D^2 f(D) dD$$
 (5.13)

Для случая "мягких" частиц (модуль показателя преломления близок к единице  $|m|\sim 1$ ) получено следующее решение, позволяющее определить f(D):

$$f(D) = \frac{1}{D^2} \left[ -\frac{1}{i\pi^2} \int_{c-i\infty}^{c+i\infty} (1+p) \Gamma(p) \cos\frac{\pi}{2} p \gamma(p) D^{-p} dp \right]$$
 (5.14)

THE 
$$\gamma(p) = \int_{0}^{\infty} \tau(\nu\beta) v^{-p} d\nu$$
,  $\nu = \lambda^{-1}$ ;  $i = \sqrt{-1}$ ;  $\beta = 2\pi(m-1)$ .

МСП применим в области значений параметра дифракции  $\alpha$ , где зависимость фактора эффективности ослабления от  $\lambda$  наиболее сильно выражена — в области до первого макс мума кривой  $Q(\lambda)$ . Устойчивое решение возможно, если оптическая толщина  $\tau(\lambda)$  измерена в диапазоне длин волн  $\lambda=0\pm\infty$ , что практически невозможно Тем не менес, если учитывать асимптотики поведения  $\tau(\nu\beta)$  (при  $\nu\beta\to0$  взаимодействие излучения со средой описывается в приближении Релея, а при  $\nu\beta\to\infty$  — в приближении геометрической оптики), то требуемый интервал  $\lambda$  можно сузить, руководствуясь соотношениями.

$$\lambda_{min} = \frac{\beta D_m}{2};$$

$$\lambda_{max} = 5\beta D_m.$$
(5.15)

При этом в указанном интервале длин волн достаточно провести 20 – 30 измерений в равноотстоящих точках.

Техническая реализация МСП связана, как правило, с использованием тепловых источников зондирующего излучения в сочетании со сканирующими спектральными приборами Использование перестраиваемых по длине волны лазеров на органических красителях позволяет упростить схему измерений и расширить область применимости данного метода

#### Метод малых углов

Для прозрачиых ( $\alpha = 0$ ) крупных ( $\alpha > 30$ ) частиц  $Q = Q_p \to \text{const} = 2$  Наличие поглощения ( $\alpha \neq 0$ ) сглаживает осцилляции зависимости  $Q(\alpha, m)$ , но и для поглощающих частиц  $Q \to 2$  при  $\alpha \to \infty$  Половина рассеянного излучения приходится при этом иа дифрагированную составляющую, которая зависит от m и рассеивается вперед в угловом конусе тем большем, чем круппее размер частиц На этом осиован *метод малых углов* индикатрисы рассеяния (ММУ) Индикатриса в области малых углов рассеяния может быть представлена в виде

$$\gamma(\theta,\alpha) = \frac{1}{\pi} \left[ \frac{Y_1(\theta \cdot \alpha)}{\theta} \right]^2 , \qquad (5.16)$$

где У - функция Бесселя первого рода первого порядка

Основное уравнение метода имеет вид:

$$J_p(\theta) = \frac{CJ_o}{\theta^2} \int_0^{\infty} \left[ DY_1(\theta \cdot \alpha) \right]^2 f(D) dD , \qquad (5.17)$$

где  $J_{\rho}(\theta)$  – измеренный поток излучения, рассеянного под углом  $\theta$ ;

 $\boldsymbol{J_o}$  – интенсивность падающего излучения;

C – константа пропорциональности

К С Шнфриным получено строгое обращение интегрального уравнения (5.17) с ядром (5.16):

$$f(D) = -\frac{C_1}{D} \int_0^{\infty} \theta \frac{\mathrm{d}}{\mathrm{d}\theta} \left[ \theta^3 J_p(\theta) \right] Y_1(\theta \cdot \alpha) Y_2(\theta \cdot \alpha) \, \mathrm{d}\theta . \tag{5.18}$$

где 
$$C_1 = \frac{2\pi^3}{CJ_o\lambda^2} = \text{const}$$
;

У<sub>2</sub> – функция Бесселя второго рода первого порядка

Пределы применимостн ММУ по размеру частиц ограничены снизу условнем (5.15) (для  $\lambda=0.55$  м км, например,  $D_{min}\sim 2$  м км) Со стороны крупных частиц ограничение определяется техническими возможностями экспериментальной установки Для круппых частиц дифрагированная составляющая индикатрисы сосредоточена в узком угловом конусе  $\theta\sim \alpha^{-1}$  и ее трудно отделить от прямого пучка. Практически достижимое значение  $D_{max}\sim 100$  м км.

К достоинствам ММУ относится его слабая зависимость от m материала частиц, а также сравнительная простота схемы измерений и возможность проведения динамических измерений – измеренне  $J_p(\theta)$  в узком диапазоне  $\theta$  можно осуществить, например, с помощью позиционно-чувствительных приемников излучения (диссекторов) с очень высоким временным разрешением.

Метод полной индикатрисы (МПИ) основан на нэмерении индикатрисы в диапазоне углов рассеяния  $\theta=0^\circ \div 180^\circ$  Алгоритм определения f(D) по результатам измерений  $J_p(\theta)$  изложен в работах К.С.Шнфрина.

Отметим, что реализация МСП, ММУ, а также МПИ связана с решением интегрального уравнения Фредгольма первого рода:

$$\int_{a}^{e} R(x, y) f(x) dx = \varphi(y)$$
 (5.19)

где R(x, y) – ядро уравнения;

f(x) – искомая функция распределения,

 $\varphi(y)$  – измеряемая функция (индикатриса рассеяния или оптическая толща)

Измерение  $\varphi(y)$  всегда сопряжено с погрешностями, и это приводит к тому, что уравнению (5.19) в пределах этих погрешностей начинает удовлетворять бесчисленная совокупность решений, т.е. задача является некорректно поставленной по Ж.Адамару. Математическая некорректных задач и методы их решения с помощью регуляризирующих работах А Н Тихонова алгоритмов развита научной школы Регуляризирующие ангоритмы строятся на основе привлечения дополнительной априорной (по отношению к эксперименту) информации об искомой функции f(x) (сведения о 'гладкости некомого решения, его монотонности и тп) Регуляризирующие алгоритмы позволяют получить устойчивое приближение к истинному решению некорректной задачи

# 5.3. Измерение среднего размера и концентрации частиц

Рассмотренные выше методы измерения f(D) имеют ряд ограничений по конценграции частиц, размеру неследуемого объекта и уровню собственного излучення при диагностике высокотемпературных потоков

Рассмотрим метод определения средних размеров и концентрации частиц, основанный на измерении спектральных коэффициентов пропускания  $T_{\lambda}$  для двух воли излучения зондирующего ОКГ. Основными уравнениями метода являются выражения для оптической голщины слоя равномерно распределенных полидисперсных частиц (5.11), записанные для двух длин воли

$$\tau_{\lambda_i} = \frac{3}{2} \frac{c_m \, l \overline{Q}(\lambda_i)}{\rho_{\nu} D_{12}} \tag{5.20}$$

где 
$$\tau_{\lambda_i} = \ln\left(\frac{1}{T_{\lambda_i}}\right); \quad i = 1,2.$$

Величина усредненного фактора эффективности ослабления  $\overline{Q}$  при определенных условиях не зависит от вида функции распределения f(D), а определяется средним объемно-поверхностным диаметром частиц  $D_{32}$  С учетом этого из (5.20) можно получить уравнение

$$\frac{\tau_{\lambda_2}}{\tau_{\lambda_1}} = \frac{\overline{Q}(\lambda_2)}{\overline{Q}(\lambda_1)} = F_1(D_{32})$$
 (5.21)

Таким образом, по измеренным значениям  $au_{\lambda_i}$  и заранее рассчитанному (для конкретных частиц и длин волн) графику  $F_1(D_{32})$  можно определить средний размер частиц  $D_{32}$  Концентрация частиц иаходится из уравнения:

$$c_m = \frac{2}{3} \frac{\tau_{\lambda_i} \rho_k D_{32}}{l \overline{Q}(\lambda_i, D_{32})} \tag{5.22}$$

В случае измерений с использованием одной длины волны зондирующего излучения по измеренному значению  $au_{\lambda}$  можно определить  $D_{32}$ , если известна (из независимых измерений или из расчета) концентрация частиц в потоке. При этом  $D_{32}$  находится решением системы уравнений:

$$\overline{Q} = F_2(\lambda, D_{32})$$

$$\overline{Q} = \frac{2}{3} \frac{\tau_{\lambda} \rho_{\kappa}}{c_m l} D_{32}$$
(5.23)

Решение системы (5.23) удобно проводить графическим способом (рис 5 1) На заранее построенном графике  $\overline{Q} = F_2(\lambda, D_{32})$  проводится через начало координат прямая с угловым коэффициентом

$$k = \lg \varphi = \frac{2}{3} \frac{\tau_{\lambda} \rho_{\kappa}}{c_m l} \tag{5.24}$$

Абсцисса точки пересечения дает искомую величину  $D_{32}$ .

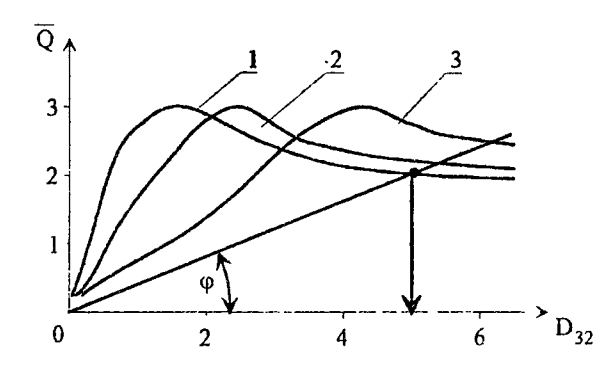


Рис 5 1 Рабочий график для определения  $D_{32}$  частиц окиси алюминия.

$$1 - \lambda = 0.48 \text{ MKM}$$
;

$$2 - \lambda = 0.63 \, \text{M KM}$$
:

$$3 - \lambda = 3.39 \text{ MKM}$$

Условием применимости данного метода является  $\alpha_{32} > 10$ , поэтому для выбора длины волны зондирующего излучения используется неравенство

$$\lambda < 0.1\pi D_{32} \tag{5.25}$$

При использовании гелий-неоновых и аргоновых лазеров возможна диагностика конденсированных частиц с размерами не менее  $\sim 15$  м км

Для практической реализации данного метода удобно использование гелий-неоновых лазеров с перестраиваемым резонатором (например  $\Pi\Gamma$ -126), что позволяет проводить измерения на трех длинах волн без нарушения юстировки измерительной схемы

# 5.4. Измерение радиального распределения параметров осесимметричного двухфазного потока

Реальные закрученные потоки, как правило, неоднородны, вследствие ценгробежных сил частицы разной массы "рассланваются" и в каждой радиальной зоне потока формируются свои значения концентрации и дисперсности частиц В случае осесимметричного течения возможно определение лазерным методом радиальных распределений  $D_{32}(r)$  и  $c_m(r)$ . Метод основан на сканировании потока по хордам лучами двух лазеров с разными длинами воли излучения (рис 5 2). В результате измерений определяются зависимости оптической толщины от координаты входа луча в поток  $r_{\lambda_i}(y)$ . i=1,2.

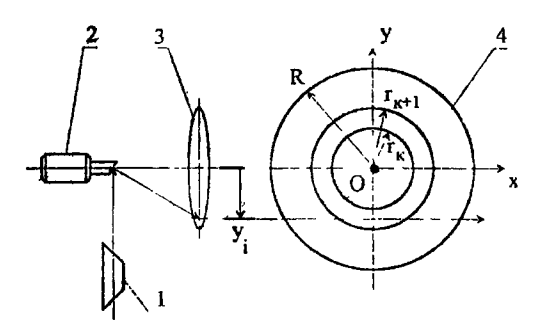


Рис. 5.2

Геометрия сканирования осесимметричного потока:

1 - OKΓ:

2 - сканирующее устройство;

3 – оптическая система;

4 - исследуемый поток

Записывая выражение для оптической толщины применительно к неоднородному слою полидисперсных частиц, получим:

$$\tau_{\lambda_i}(y) = \frac{3}{\rho_\kappa} \int_0^x \frac{c_m(x)\overline{Q}(\lambda_i, x)}{D_{32}(x)} dx$$
 (5.26)

Переходя в (5.26) к цилиндрическим координатам и вводя обозначения:

$$f_{l}(r) = \frac{c_{m}(r)\overline{Q}(\lambda_{l}, r)}{D_{32}(r)}$$

$$\varphi_{l}(y) = \tau_{\lambda_{l}}(y)$$
(5.27)

получаем интегральное уравнение Абеля:

$$2\int_{y}^{R} \frac{rf(r)}{\sqrt{r^2 - y^2}} dr = \varphi(y), \ y \in [0, R]$$
 (5.28)

Решая тем или иным приближенным методом два уравиения типа (5.28) для двух длин волн, приходим к системе двух алгебраических уравнений:

$$\frac{c_m(r)\overline{Q}(\lambda_1, r)}{D_{32}(r)} = f_1(r)$$

$$\frac{c_m(r)\overline{Q}(\lambda_2, r)}{D_{32}(r)} = f_2(r)$$
(5.29)

Если для рассматриваемого потока выполняется условие независимости  $\overline{Q}$  от вида функции распределения ( $\overline{Q}$  однозначно определяется величиной  $D_{32}$  при фиксированной  $\lambda$ ), то из решения системы (5.29) можно найти искомые зависимости  $c_m(r)$ ,  $D_{32}(r)$ . Даниый способ легко распространить на случай монодисперсного потока (при этом с помощью сканирования на одной длине волны можно определить радиальное распределение концентрации частиц.

#### ЛИТЕРАТУРА

- 1 Гупта А, Лилли Д., Сайред Н Закрученные потоки М. Мир, 1987 588 с.
- 2 Халатов A A. Теория и практика закрученных потоков. Киев Наукова думка, 1989 192 с.
- 3 Смульский И.И. Аэродинамика и процессы в вихревых камерах Новосибирск: Наука, 1992 301 с
- 4 Шукин В К., Халатов А.А. Теплообмен, массообмен и гидродинамика закрученных потоков в осесимметричных каналах М Машиностроение, 1982 200 с
- 5. Архипов В А Лазерные методы диагностики гетерогенных потоков Томск Изд-ро Том ун-та, 1987 140 с

#### ОГЛАВЛЕНИЕ

Лекция первая Вводные замечания	
1 1 Предмет и задачи курса.	4
1 2. Система координат	4
1 3 Классификация закрученных течений	6
1 4 Области практического непользования закрученных потоков	8
Лекция вторая Способы закрутки и основные характеристики	
закрученных потоков	
2 1 Способы закрутки потока	16
2 2. Закон закрутки	20
2 3 Интенсивность закрутки	23
Лекция третья Методы диагностики закрученных потоков	
3 1 Измеряемые параметры.	27
3 2 Измерение тангенциальной скорости	30
3 3 Симметричный цилиндрический зонд	31
3 4 Определение тангенциальной скорости по измеренному	
градиенту давления в вихревой камере	34
3 5 Измерение ноля статического давления с помощью свободной	
поверхности жидкости.	36
Лекция четвертая Методы бесконтактной диагностики	
4.1. Классификация методов	39
4 2 Источник зондирующего излучения	42
4 3 11змерение температуры потока	44
4 4 Измеренне скорости потока с помощью ЛДА.	47
Лекция пятая Обратные методы оптики аэрозолей	
5 1 Оптические характеристики конденсированных частиц	50
5.2 Методы измерения функции распределения	53
5.3. Измеренне среднего размера и концентрации частиц	56
5 4 Измерение радиального распределения параметров	
осесимметричного двухфазного потока	58

## Владимир Афанасьевич Архипов,

Курс лекций по теории и практике закрученных потоков. Часть 1.

Томский государственный университет Томск, 1999 г.

Подп в печать 2.04.99 г.

Тираж 50 экз